

## تحليل الخصائص الهيدرولوجية لوادي جند شرق بحيرة حمرىن في محافظة ديالى باستخدام نموذج (SCS-CN) لتطبيق تقنيات حصاد المياه

أ.د. حسين كريم حمد الساعدي

husainwadi@uowasit.edu.iq

م.د. علي راضي محسن العتابي

alir903@uowasit.edu.iq

جامعة واسط / كلية التربية للعلوم الإنسانية / قسم الجغرافية

المستخلص :

يهدف هذا البحث الى تحليل البيانات الهيدرولوجية لإنشاء خرائط دقيقة ومفصلة للخصائص المائية في وادي جند عن طريق نموذج الارتفاع الرقبي (DEM)، يهدف هذا النوع من النماذج إلى فهم وتوقع معاملات المياه في النظم الهيدرولوجية، مثل التصريف والتبخّر، ونقل المياه في التربة. حيث تقع منطقة الدراسة في شرق بحيرة حمرىن في محافظة ديالى ، بينما شملت منطقة الدراسة اربع تكوينات جيولوجية، كان السائد هو تكوين المقدادية بمساحة بلغت (١٢٤.٣) كم<sup>٢</sup>، وثلاث اصناف للترسب، ثم تم تحليل شبكة الارواحية باستخدام بيئية تقنيات الذكاء الاصطناعي، من خلال بناء نموذج Model Builder ، وتم اختيار موقع انشاء السدود لحصاد المياه تم اقتراح ثلات مواقع للسدود باستخدام نموذج Model Builder في نظم المعلومات الجغرافية بناء على مجموعة من المتغيرات ذات البعد المكاني والتي تؤثر على اختيار موقع اقامة السد، وهذه المتغيرات هي أنواع الصخور والتحليل الهيدرولوجي للمنطقة وطوبوغرافيتها ومساحة الأحواض وكمية التساقط وتدفق الأنهار والبيانات الجيومورفولوجية، ومعالجتها لإنشاء نماذج توقعية للخصائص المائية تستخدم هذه النماذج الخرائط الهيدرولوجية لعدة أغراض مثل التنبؤ بفيضانات الأنهار وإدارة موارد المياه وتقدير تأثير التغيرات المناخية على النظم الهيدرولوجية.

الكلمات المفتاحية : وادي جند ، الهيدرولوجية ، CN-SCS ، حصاد المياه

Analysis of the hydrological characteristics of the Jand River east of Hamrin Lake in Diyala Governorate using the SCS-CN model to apply water-harvesting techniques

Dr. Ali Radhi Muhsin

Prof. Dr. Hussein Kareem Hamad

University of Wasit / College of Education for Human Sciences / Department of Geography  
Abstract

This research aims to analyze hydrological data to create accurate and detailed maps of water characteristics in Wadi Jand using a Digital Elevation Model (DEM). This type of modeling seeks to understand and predict water parameters in hydrological systems، such as runoff، evaporation، and water movement through the soil. The study area is located east of Lake Hamrin in the Diyala Governorate and includes four geological formations، with the dominant one being the Al-Muqaddiya formation covering an area of 124.3 km<sup>2</sup>، along with three soil types. The stream network was analyzed using artificial-intelligence techniques by building a Model Builder model. Potential dam sites for water harvesting were selected، and two dam locations were proposed using the Model Builder within a Geographic Information System based on a set of spatial variables that influence dam-site selection. These variables include rock types، the hydrological analysis of the area، its topography، basin area، precipitation amount، river flow، and geomorphological data. By processing these data، predictive models of water characteristics were developed. These models employ the hydrological maps for various purposes، such as forecasting river floods، managing water resources، and assessing the impact of climate change on hydrological systems.

Keywords: Jand Valley ، Hydrological ، CN-SCS ، Water Harvesting

١. المقدمة :

تعد منطقة الدراسة من البيئات شبه الجافة وان الهطول المطري فيها فصلي، حيث ان الجريان السطحي يرتبط بسقوط الامطار الغزيرة والقوية اذ يتأثر حجم الجريان في المنطقة بمجموعة العوامل منها الرواسب والتكتونيات الصخرية ومقدار

# تحليل الخصائص الهيدرولوجية لوادي جند شرق بحيرة حمرىن في محافظة ديالى باستخدام نموذج (SCS-CN) لتطبيق تقنيات حصاد المياه

أ.د. حسين كريم حمد الساعدي

م.د. علي راضي محسن العتابي

الامطار النازلة ونوع التربة والغطاء الأرضي، وان حوض وادي الدراسة لا تتوفر فيه محطة لمعرفة الجريان المائي، لذا تم استخدام (SCS - CN) التي تعد من اكثر وادق الطرق التي اثبتت نجاحها في تقدير حجم وعمق الجريان المائي.

## ١.١. مشكلة البحث :

هل يمكن تقدير حجم الجريان المائي في حوض وادي جند؟ وهل هناك تأثير واضح لاستعمالات الأرض المختلفة على مقدار الجريان السطحي للوادي؟ هل يوفر نموذج (SCS - CN) خرائط يمكن اعتمادها في تحديد افضل المواقع التي يمكن استثمارها لأغراض حصاد المياه؟

## ٢.١. فرضية البحث :

تؤكد الفرضية على ان طريقة (SCS-CN) تعد من أكثر الطرق دقة واستخدام لتقدير عمق وحجم الجريان السطحي في المنطقة، كما ان جريان المياه في حوض وادي جند يتأثر بطبيعة استعمالات الارض المختلفة، ويعد نموذج ( - SCS ) ذات دقة عالية في تحديد افضل المواقع للحصاد المائي .

## ٣.١. هدف البحث :

يهدف البحث إلى توفير بيانات هيدرولوجية شاملة لحوض وادي أبو جدع ونمذجتها خرائطياً بهدف تحديد المواقع المثلث لتجميع وحصاد المياه بالإضافة إلى ذلك، يسعى البحث إلى تقدير حجم الجريان السطحي باستخدام معامل حفظ التربة الأمريكي (SCS-CN)، الذي يُعد من النماذج ذات الدقة العالية في تقدير حجم الجريان المائي نظراً لاعتماده على متغيرات أساسية مثل نوع التربة والغطاء الأرضي، وكمية الأمطار المتتسقة.

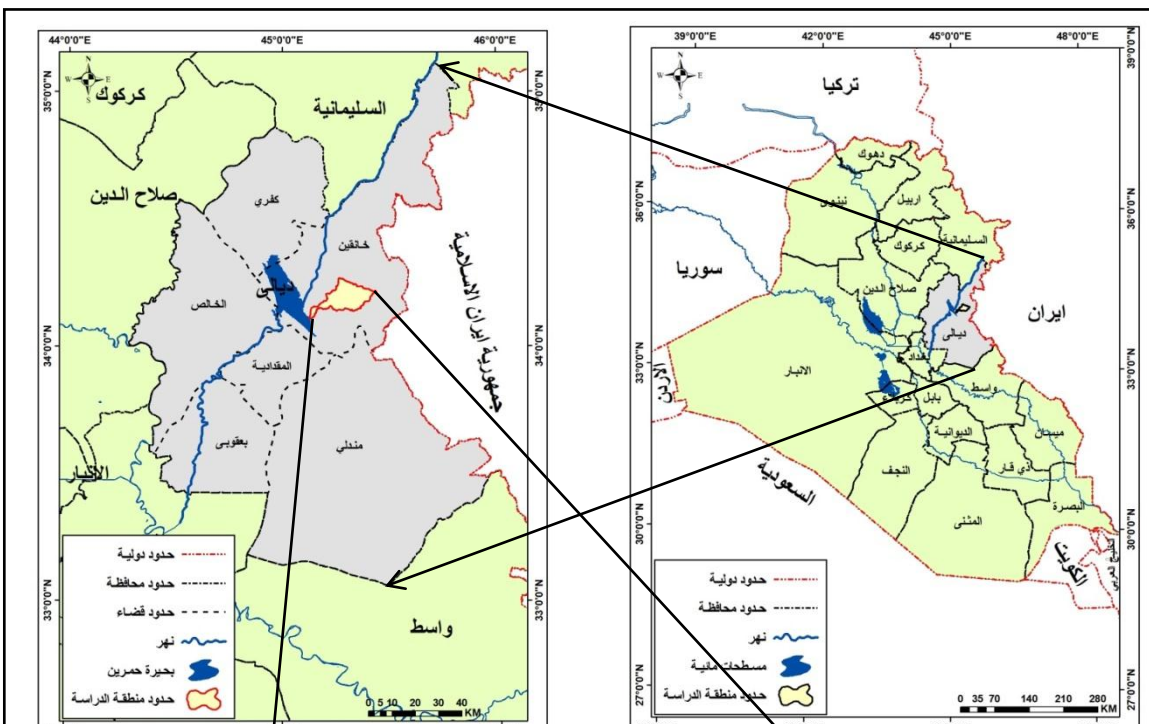
## ٤.٤. منهجية البحث :

تم اعتماد المنهج الوصفي لوصف منطقة البحث والأساليب المتبعة لجمع البيانات، كما اعتمد على المنهج الكمي والتحليلي بغية الوصول إلى نتائج دقيقة لتقدير حجم الجريان المائي بالاعتماد على نموذج حفظ التربة الأمريكية (SCS-CN) فضلاً عن استعمال المعادلات الرياضية الهيدرولوجية وتحليلها لتحديد المواقع الملائمة لإنشاء المستجمعات المائية.

## ٥. حدود البحث :

يقع حوض وادي جند في محافظة ديالى قضاء خانقين حيث يصب شرقي بحيرة حمرىن ، اما فلكياً بين خطى طول (٤٥°-٣٠°، ٤٥°-٧٠°) شرقاً ، وبين دائري عرض (٣٤°-٦٠°) شمالاً ، يلاحظ خريطة (١) .

خريطة (١) موقع حوض وادي جند بالنسبة للعراق ومحافظة ديالى



## ٤. الخصائص الطبيعية لحوض وادي جند

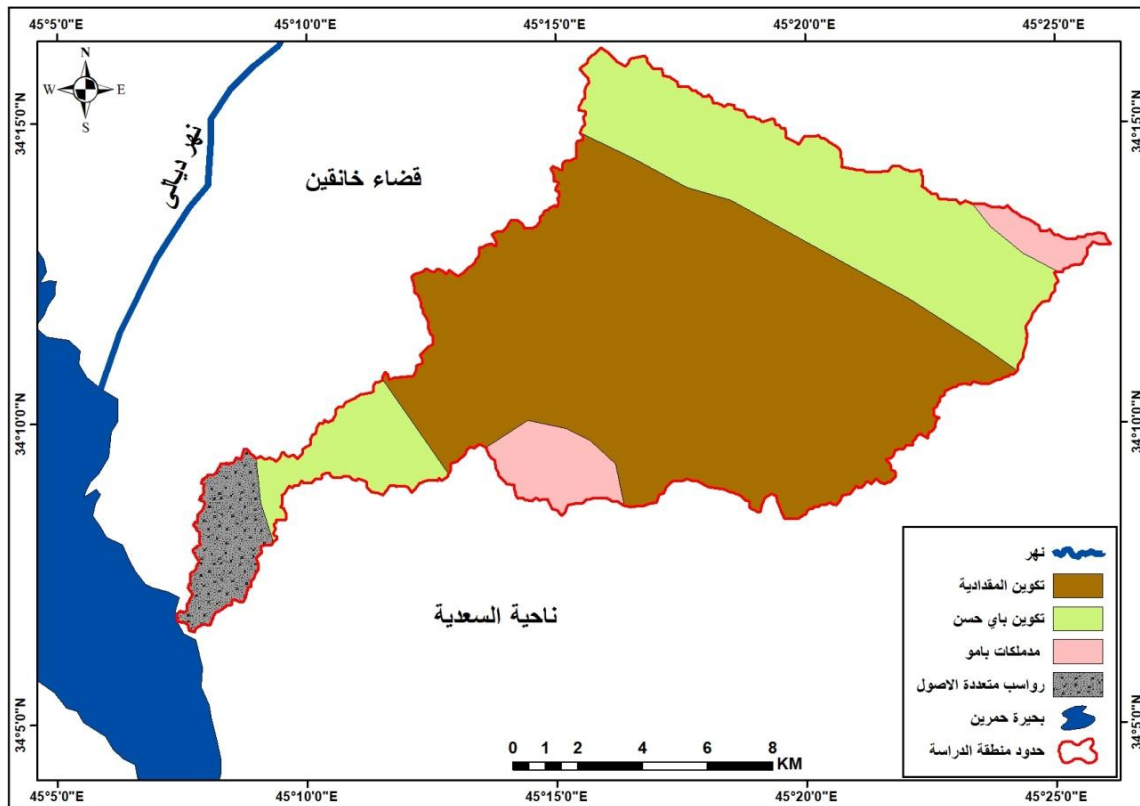
ان للخصائص الطبيعية دور مهم في تحديد حجم وعمق الجريان السطحي للمياه وما لها من اثر على انتخاب افضل المواقع لانشاء السدود وحصاد المياه ويمكن معرفة ذلك من خلال استعراض تلك الخصائص التي يمكن تناولها بالاتي:

## ١.٢. البنية الجيولوجية :-

تظهر في منطقة الدراسة عدة تكوينات جيولوجية إذ تتبين هذه التكوينات من خلال بيئة الترسيب والمكونات الصخearية ودرجة كثافتها وظهور مكافئها الصخرية من منطقة إلى أخرى ، إذ يتراوح العمر الجيولوجي لهذه التكوينات ما بين الزمن الجيولوجي الثالث (المابوسين المتأخر) وتكوينات الزمن الجيولوجي الرابع (المولوسين) يلاحظ خريطة (٢) والجدول (١) وهي كالتالي :

١١٢. تكوين العقادية (مايوسين المتأخر - الباليوسين المبكر) :- شكل هذا التكوين مساحة (١٢٤.٣ كم٢) بنسبة (٦١.٨%)، ويعد أكبر تكوين في المنطقة ، يتألف هذا التكوين من تعاقب دورات رسوبية فاتاتية متمثلة بالحجر الرملي والحصى والحجر الغريني والحجر الطيني يتراوح سمك التكوين بين (٣٠٠ - ١٢٠٠ م) (العمري، ١٩٧٨، ص ١٤٥).

## خريطة (٢) التراكيب الجيولوجية في حوض وادي جند



المصدر: الباحثان بالاعتماد على: وزارة الصناعة والمعادن ، الشركة العامة للمسح الجيولوجي والتعميم ، لوحة جيولوجية (خانقين 7-38-NI) بمقاييس 1: 250000 ، بغداد ، ١٩٩٣ .

# تحليل الخصائص الهيدرولوجية لوادي جند شرق بحيرة حمرىن في محافظة دىالى باستخدام

## نموذج (SCS-CN) لتطبيق تقنيات حصاد المياه

أ.د. حسين كريم حمد الساعدي

م.د. علي راضي محيىن العتابى

الجدول (١) التكوينات الجيولوجية في حوض وادي جند

الزمن	العصر	التكوين	المساحة كم <sup>٢</sup>	النسبة المئوية %
الثالث Cenozoion – Tertiary	مايوسين	تكوين المقدادية	١٢٤.٣	٦١.٨
	بلايوسين	تكوين باي حسن	٥٧.١	٢٨.٤
الرابع Quarternary	بلايوستوسين	مدملكات بامو	١٠.٩	٥.٤
	هولوسين	رواسب متعددة الاصول	٨.٩	٤.٤
المجموع				١٠٠

المصدر : الباحثان بالاعتماد على خريطة (٢) .

٢.١.٢. تكوين باي حسن (مايوسين المتأخر - بلايوسين المبكر) : - يتكون هذا التركيب من بيئة الترسيب النهرية والقارية وبلغت مساحته (١٢٤.٣ كم<sup>٢</sup>) ونسبة (٦١.٨%) ، من اجمالي مساحة المنطقة. يتتألف من تعاقب الحجر الطيني والحجر الرملي والمدملكات مع القليل من الغرين سمك هذا التكوين يتراوح في المنطقة ما بين (٣٠٠ - ٤٧٨) م (Khadim, ٢٠٢١) .

٢.٣.١.٢. مدملكات بامو (بلايوستوسين) : - شغلت هذه التربات مساحة (١٠.٩ كم<sup>٢</sup>) ونسبة (٥.٤%)، يتركز هذا النوع في الاجزاء الشمالية الشرقية من منطقة الدراسة، ويتكون من تتابع المدملكات والرمل وطبقات من ففات الحجر الكلسي والحجر الطيني يبلغ سمكه (٤٥٠) م (صالح، ٢٠٠٦، ص ٧) .

٢.٤.١.٢. رواسب متعددة الاصول : - توجد هذه التربات في الطيات المقعرة والتي فيها مجاري الوديان وغالباً ما تكون ضحلة جافة وتقيض في بعض الاحيان وتتألف قياعها من الحصى وترسبات ناعمة المائة للوديان تتتألف من خليط من طين وحصى (Jassim and Jeremy, ٢٠٠٦، P197) ، وبلغت مساحة هذه الرواسب (٨.٩ كم<sup>٢</sup>) ونسبة (٤.٤%) من مجموع مساحة منطقة الدراسة .

### ٢.٢. السطح

تقع منطقة الدراسة في المنطقة المتموجة من العراق ، وانها تقع على ارتفاع يتراوح بين (٩٩ - ٤٧٨) م ، ويمكن تقسيمها الى خمسة ففات حسب تصنيف (يونك)، يظهر ذلك كما مبين في خريطة (٣) وجدول (٢) .

٢.١.٢. الفئة الأولى ويتراوح ارتفاعها بين (٩٩ - ١٤٩) م : وهي أخفض المناطق في منطقة الدراسة، تكونت بفعل تربات المجاري المائية للأحواض مشكلة أحواضاً إرسابية لنواتج عملية التعرية من المناطق المرتفعة المجاورة ، إذ تشغّل مساحة تقدر بـ (٣٢.١ كم<sup>٢</sup>) إذ تشكل ما نسبته (١١.٥%) من المساحة الكلية.

٢.٢.٢. الفئة الثانية ويتراوح ارتفاعها بين (١٩٤.١ - ١٩٨) م :

وتنتمي بالمناطق الوسطى والغربية للحوض وتعد هذه الفئة أعلى ارتفاع مكاني بين مساحات الارتفاع، إذ تبلغ مساحتها نحو (٦٨.٤ كم<sup>٢</sup>) وبذلك فهي تشغّل نسبة (٣٤%) من مساحة الحوض الكلية .

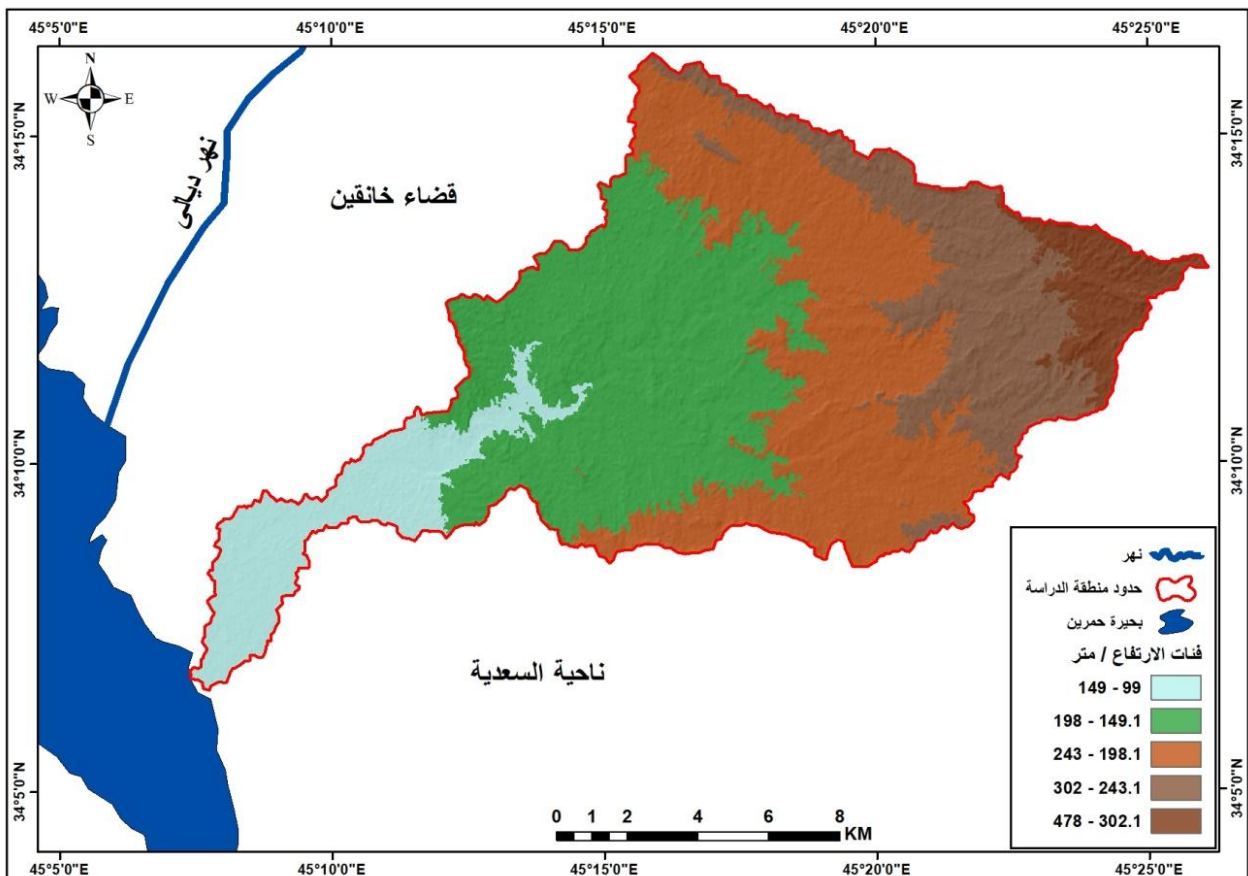
٢.٣.٢.٢. الفئة الثالثة ويتراوح ارتفاعها بين (١٩٨.١ - ٢٤٣) م :

تغطي هذه الفئة أجزاء متعددة من المنطقة فتمتد من الغرب إلى الشرق وهي بذلك تشغّل مساحة واسعة من منطقة الدراسة، إذ تبلغ (٦٤.٢ كم٢) وبنسبة (٣١.٩٪) من مساحة الحوض الكلية.

#### ٤.٢.٢. الفئة الرابعة ويترافقها بين (٣٠٢ - ٢٤٣.١) م:

تكون هذه الفئة أكثر ارتفاعاً من سبقتها وتمتد بشكل شريطاً طولياً يحيط بالفهات الأخيرة المرتفعة وتمتد في جهة الشمال الشرقي إلى الشمال الغربي تتمثل بالمناطق القريبة من القمم الجبلية والتي تكون ذات أراضٍ وعرة، وتشغّل مساحة تقدر (٤٤.٢ كم٢) وبنسبة (١٧.١٪) من المساحة الكلية للحوض.

خريطة (٣) فئات الارتفاع المتساوي (م) في حوض وادي جند



المصدر : الباحثان بالاعتماد على : نموذج الارتفاع الرقمي DEM ومخرجات برنامج (Arc Gis 10.8)

جدول (٢) مساحة فئات الارتفاعات في حوض وادي جند

نسبة المؤدية %	المساحة كم٢	فئات الارتفاع / متر	ت
١١.٥	٢٣.١	١٤٩ - ٩٩	١
٣٤	٦٨.٤	١٩٨ - ١٤٩.١	٢
٣١.٩	٦٤.٢	٢٤٣ - ١٩٨.١	٣
١٧.١	٣٤.٤	٣٠٢ - ٢٤٣.١	٤
٥.٥	١١.١	٤٧٨ - ٣٠٢.١	٥
١٠٠	٢٠١.٢	المجموع	

# تحليل الخصائص الهيدرولوجية لوادي جند شرق بحيرة حمرین في محافظة دیالی باستخدام

## نموذج (SCS-CN) لتطبيق تقنيات حصاد المياه

أ.د. حسين كريم حمد الساعدي

م.د. علي راضي محسن العتابي

المصدر: الباحثان بالاعتماد على الخريطة (٣)

٥.٢.٢. الفئة الخامسة ويترافقها بين (٣٠٢.١ - ٤٧٨) م :

وتعد من أعلى منطقة الدراسة ارتفاعاً ، إذ تقع ضمن المنطقة الشديدة الإلتواء والمتمثلة بالجبال الوعرة ، وتعد هذه المنطقة أقل الفئات انتشار مكانيًّا بين فئات الأرتفاع الأخرى، وتمتد بشكل شريط طولي ضيق في الشمال الشرقي ، إذ لا تتجاوز مساحتها (١١.١ كم٢) كم٢ وبنسبة (٥٥.٥٪) من مساحة منطقة الدراسة الكلية.

### ٣.٢. المناخ

تم دراسة الخصائص المناخية بالاعتماد على البيانات المسجلة لمحطة (خانقين ، الخالص) ويمكن تناول اهم عناصر المناخ في حوض منطقة الدراسة على النحو الآتي:

#### ٣.٢.١. درجات الحرارة :

بلغ المعدل السنوي لدرجات الحرارة في محطة خانقين (٢٣٠.٤) م° . وسجل شهري (تموز ، اب) أعلى درجات حرارة بلغت (٣٦.٥ ، ٣٥.٧) م على التوالي، بينما سجلت أقل درجة حرارة في شهري (كانون الثاني، وكانون الأول) بلغت (٩.٨ ، ١١.٧) م° ، اما في محطة الخالص فقد بلغ المعدل السنوي (٢٢٠.٣) م° ، وسجل شهري (تموز ، اب) أعلى درجات حرارة بلغت (٣٤.٣ ، ٣٣.٧) م° على التوالي، بينما سجلت أقل درجة حرارة في شهري (كانون الثاني، وكانون الأول) بلغت (٩.٣ ، ١١.١) م° على التوالي.

#### ٣.٢.٢. الرياح :

من خلال معطيات الجدول (٣) والشكل (١) بلغ المعدل السنوي لسرعة الرياح في محطة خانقين (١٠.٧) م/ثا ، وسجل شهر (نisan) أعلى معدل سرعة بلغ (٢٠.٢) م/ثا ، بينما أقل معدل سرعة سجل في شهر (كانون الأول) بلغ (١٠.٣) م/ثا ، اما في محطة الخالص فقد بلغ المعدل السنوي بسرعة الرياح نحو (٢٠.٥) م/ثا، اذ سجل شهر (تموز) أعلى معدل لسرعة الرياح بلغ (٣٠.٢) م/ثا ، بينما أقل معدل شهري سجل في (تشرين الثاني) بلغ (١٠.٧) م/ثا .

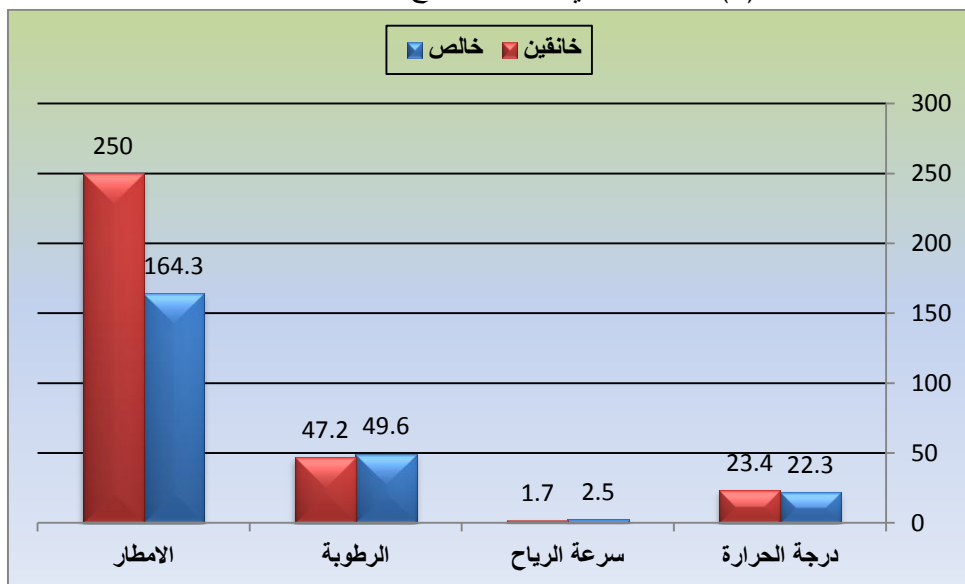
الجدول (٣) خصائص عناصر المناخ في محطات الدراسة لمدة من (٢٠١٤-٢٠٢٤) .

الخالص				خانقين				المحطة الأشهر
الامطار	الرطوبة	سرعة الرياح	درجة الحرارة	الامطار	الرطوبة	سرعة الرياح	درجة الحرارة	
٣١.٩	٧٢.٨	٢.٢	٩.٣	٤٩.٩	٧٦.٧	١.٥	٩.٨	كانون الثاني
٢٦.٨	٦٥	٢.٧	١١.٩	٤٧.٤	٦٨.٩	١.٨	١١.٨	شباط
١٩.٢	٥٦.١	٢.٩	١٦.٥	٤٨.١	٦٠.٨	٢	١٦.١	اذار
٢١.٤	٥٠.٨	٢.٨	٢١.٩	٢٩	٥٠.٤	٢.٢	٢٢.١	نيسان
٤.٨	٣٩.٣	٢.٦	٢٧.٩	٦.٢	٣٥.٩	٢.١	٢٩.١	مايس
٠	٣١.٥	٣.١	٣٢.١	٠	٢٦.١	٢	٣٣.٩	حزيران
٠	٣١.٣	٣.٢	٣٤.٣	٠	٢٤.١	١.٩	٣٦.٥	تموز
٠	٣١.٩	٢.٦	٣٣.٧	٠	٢٥.١	١.٦	٣٥.٧	اب
٠.٤	٣٦.٤	٢.١	٢٩.٦	٠.٥	٢٨.٥	١.٥	٣١.٥	ايلول

٩.٥	٤٧.١	١.٨	٢٤.١	٥.٣	٣٧.٥	١.٦	٢٥.٤	تشرين الأول
٢٣.٤	٦٢.٤	١.٧	١٥.٧	١٧.١	٥٨.٨	١.٤	١٦.٩	تشرين الثاني
٢٦.٩	٧١.١	٢	١١.١	٤٦.٥	٧٣.٢	١.٣	١١.٧	كانون الأول
١٦٤.٣	٤٩.٦	٢.٥	٢٢.٣	٢٥٠	٤٧.٢	١.٧	٢٣.٤	المعدل السنوي

المصدر: جمهورية العراق، وزارة النقل، الهيئة العامة للأنواء الجوية، قسم المناخ، (بيانات غير منشورة)، ٢٠٢٤

شكل (١) المعدل السنوي لعناصر المناخ لمحطات منطقة الدراسة



المصدر: الباحثان بالاعتماد على جدول (٣)

### ٣.٣.٢. الرطوبة النسبية:

بلغ المعدل السنوي للرطوبة النسبية في محطة خانقين (٤٧.٢٪) وسجل شهري (كانون الثاني، كانون الأول) أعلى معدلات رطوبة شهرية حيث بلغت (٧٣.٢٪، ٧٦.٧٪) على التوالي ، في حين بلغت ادنى نسبة للرطوبة في شهري (تموز ، آب) بلغت (٢٥.١٪، ٢٤.١٪) على التوالي. اما في محطة الخالص فقد بلغ المعدل السنوي للرطوبة النسبية ما يقارب (٤٩.٦٪) وسجل شهر (كانون الثاني) أعلى نسبة بلغت (٨٢.٨٪) ، بينما اقل نسبة سجلت في شهر (تموز) بلغت نحو (٣١.٣٪) .

### ٣.٤.٣.٢. الامطار :

يتضح من بيانات الجدول (٣) ان المجموع السنوي للأمطار في محطة خانقين بلغ (٢٥٠) ملم، اذ سجل شهري (كانون الثاني ، شباط) أعلى مجموع مطري اذ بلغ ما يقارب (٤٧.٤٪، ٤٩.٩٪) ملم أما في محطة الخالص فقد بلغ المجموع السنوي للأمطار (١٦٤.٣) ملم ، حيث سجل شهري (كانون الثاني . كانون الاول) أعلى تساقط مطري بلغ (٣١.٩٪، ٣١.٩٪) ملم، في حين لم تسجل المحطتين اي تساقط للأمطار في شهري (حزيران، تموز، آب).

### ٤.٠.٢. التربية

تؤثر التربية على الخصائص الهيدرولوجية بصورة غير مباشرة وذلك من خلال تأثيرها والتأثير بالخصائص الأخرى كالسطح والبنية الجيولوجية والمناخ والنبات الطبيعي وتم تقسيم ترب منطقة الدراسة الى ثلاثة اصناف حسب تصنيف (بيورننك) ، يلاحظ خريطة (٤) .

# تحليل الخصائص الهيدرولوجية لوادي جند شرق بحيرة حمرىن في محافظة دىالى باستخدام

## نموذج (SCS-CN) لتطبيق تقنيات حصاد المياه

أ.د. حسين كريم حمد الساعدي

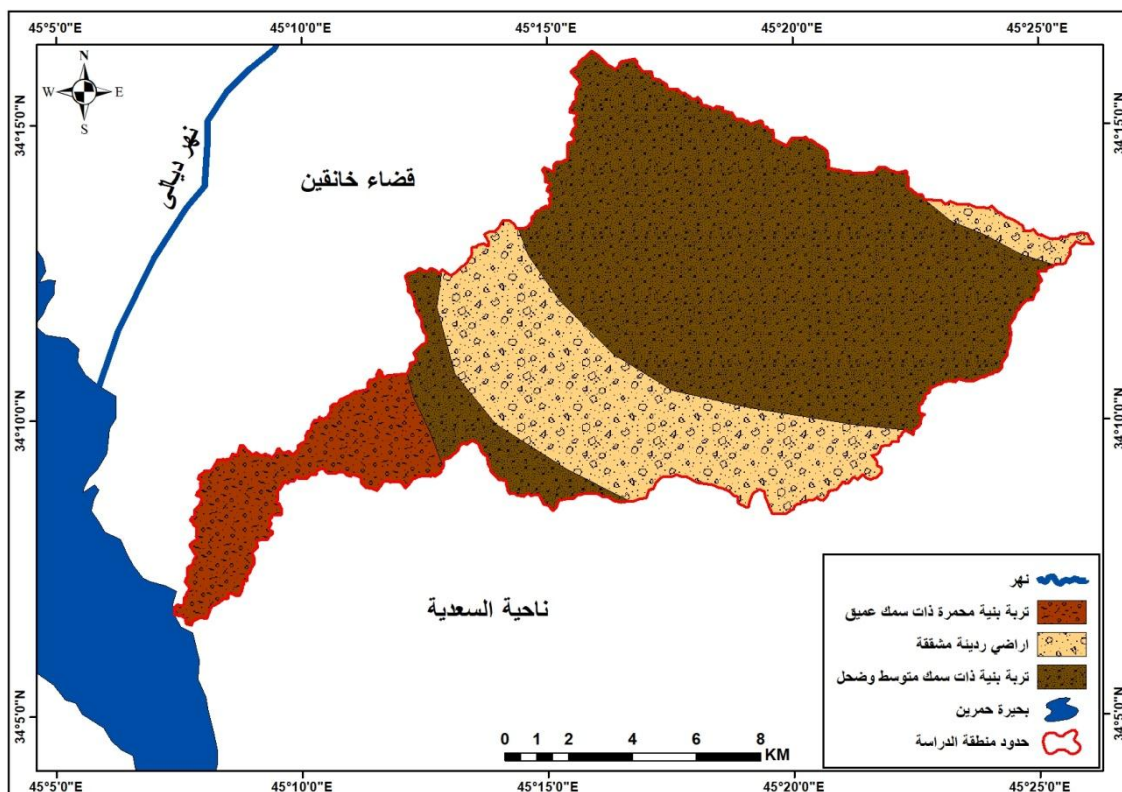
م.د. علي راضي محسن العتابى

١.٤.٢. تربة بنية محمرة ذات سمك عميق :- مساحة هذه الترب بلغت (٢١.٥ كم٢) وبنسبة (١٠.٧%)، وتنشر في جنوب الوادي في منطقة المصب، وهي من الترب الخصبة مزيجية وطينية قليلة الملوحة وبذلك تعد من اجود الترب الصالحة للزراعة .

٢.٤.٢. ترب الارضي الرديئة المشقة :- تكون هذه الترب من الصخور الرملية والطينية والحطام الصخري وخالية من غطاء التربة واهيتها قليلة في الزراعة وتقصر اهميتها كمراضي صيفية، وتبلغ مساحتها (٥٣.٩ كم٢) وبنسبة (٦٦.٨%) من مساحة الحوض الكلية .

٣.٤.٢. تربة بنية ذات سمك متوسط وضحل :- تسود هذه الترب في منطقة الدراسة ويختلف سمكها من منطقة الى اخرى تكون متوسطة في بعض المناطق وضحلة في اماكن اخرى لتهاجرها الى عوامل التعرية وهي تربة صالحة للزراعة في بعض المناطق ومتواسطة الصالحة في مناطق اخرى، مساحتها (١٢٥.٨ كم٢) وبنسبة (٦٢.٥%) من مجموع مساحة الحوض .

خرائط (٤) اصناف الترب في حوض وادي جند



المصدر: الباحثان بالاعتماد على : 1960 ، Baghdad, Soils and Condition in Iraq, P.Brauring

جدول (٤) اصناف الترب في حوض وادي جند

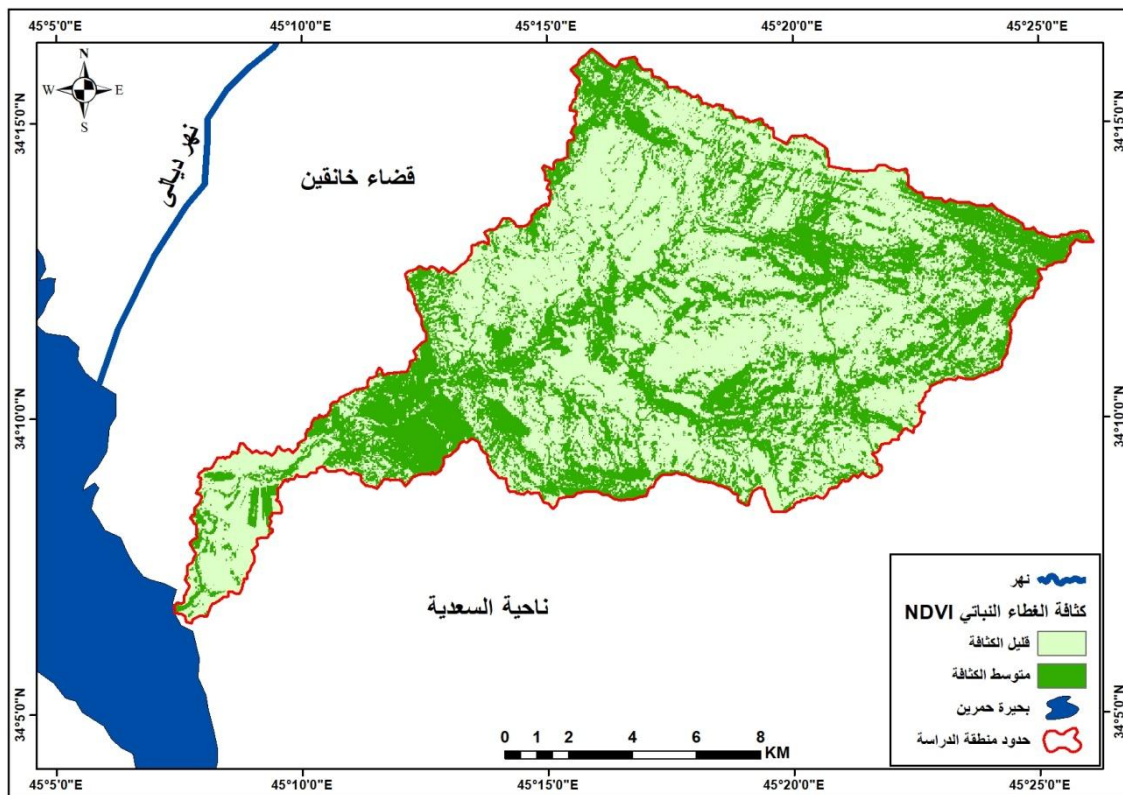
نسبة المئوية %	المساحة كم ٢	أصناف الترب	ت
١٠.٧	٢١٠.٥	تربة بنية محمرة ذات سمك عميق	١
٢٦.٨	٥٣.٩	ترب الاراضي الرديئة المشقة	٢
٦٢.٥	١٢٥.٨	تربة بنية ذات سمك متوسط وضحل	٣
١٠٠	٢٠١.٢	المجموع	

المصدر : الباحثان بالاعتماد على خريطة (٤)

#### ٥.٢. النبات الطبيعي

استخرج خريطة كثافة الغطاء النباتي من المرئية الفضائية، يعتمد على نطاق الأشعة تحت الحمراء القريبة (NIR) ونطاق الأشعة الحمراء (RED)، كما موضح في الخريطة (٥)، إن وجود النبات الطبيعي يساعد على اعتراض جريان المياه السطحية، فيعمل على إبطاء حركتها، ومن ثم حدوث تربث قسم كبير من المياه الجارية إلى باطن الأرض ، ويمكن تقسيم كثافة الغطاء النباتي منطقة الدراسة وحسب مؤشر NDVI على ما يأتي:

خريطة (٥) مؤشر كثافة الغطاء النباتي (NDVI) لمنطقة الدراسة



المصدر : الباحثان بالاعتماد على : المرئيات الفضائية 8 Land Sat بتاريخ ٢٠٢٥ / ٣ / ٢٣

١.٥.٢. مناطق قليلة الكثافة : بلغت مساحة المناطق التي تمتاز بكمية قليلة او تكون جراء خالية من الغطاء النباتي (١٨.٥ كم٢) ، أي بنسبة مئوية (٥٨.٩٪) من المساحة الكلية لمنطقة الدراسة والتي تتوارد في المناطق ذات الانحدار الشديد، أو أعلى الجبال والمناطق السكنية ضمن المنطقة.

# تحليل الخصائص الهيدرولوجية لوادي جند شرق بحيرة حمرین في محافظة دیالی باستخدام

## نموذج (SCS-CN) لتطبيق تقنيات حصاد المياه

أ.د. حسين كريم حمد الساعدي

م.د. علي راضي محسن العتابي

٢.٥.٢ مناطق متوسطة الكثافة : إن مساحة هذه المناطق التي تتميز بكثافة متوسطة من الغطاء النباتي بلغت (٨٢.٧ كم<sup>٢</sup>)، أي بنسبة مئوية (١٠.١%) من المساحة الكلية لمنطقة الدراسة، وتمتاز بكونها مراعي طبيعية تستخدم بشكل لرغبي للحيوانات .

الجدول (٥) مؤشر كثافة الغطاء النباتي NDVA في حوض وادي جند

النسبة %	المساحة / كم <sup>٢</sup>	مؤشر كثافة الغطاء النباتي	ت
٥٨.٩	١١٨.٥	قليل الكثافة	١
٤١.١	٨٢.٧	متوسط الكثافة	٢
١٠٠		المجموع	

المصدر : الباحثان بالاعتماد على خريطة (٥)

### ٣. الخصائص الهيدرولوجية لحوض وادي جند

تشبّع التربة بالماء بعد تساقط مطري غزير في وقت قصير حينها تمتليء المسامات في التربة، وتختفي معدلات التسرب المائي فيها، لذا تتدفق المياه على المنحدرات نحو المناطق الأقل ارتفاعاً فتتولد امكانية حصاد تلك المياه في المنطقة، وبذلك يتم تحليل الخصائص الهيدرولوجية التي لها دور في تكوينها وذلك باستخدام طريقة (SCS) .

### ٣.١. بناء نموذج بطريقة (SCS – CN) :

وهي أحدى الطرق المهمة في تقدير الجريان السطحي، التي طورتها أدارة صيانة التربة التابعة لإدارة الزراعة في الولايات المتحدة الأمريكية (Soil Conservation Service)، التي تختصر بطريقة (SCS – CN)، وهي من أكثر الطرق وشهرتها استخداماً لتقدير عمق الجريان السطحي التي تستخدم متغيرات عديدة من أهمها نوعية التربة واستعمالات الأرض والغطاء النباتي وكذلك كمية الأمطار الساقطة (العام ، علوان ، ٢٠١٨ ، ص ٣٥٣) .

وقد تم استخدام برنامج Arc Gis 10.8 (RS) لتقدير حجم الجريان بهذه الطريقة، وتستخدم هذه الطريقة لتحديد أفضل الموضع لأنشاء السدود والحساب المائي، اذ تعتمد هذه الطريقة بشكل دقيق على وحدات (البكسل) وللأبعاد (30 x 30)م، ليتم الحصول على نتائج أكثر دقة وواقعية تغطي منطقة الدراسة، ومن أجل تطبيق هذه الطريقة يجب اتباع مجموعة من المراحل والمعدلات الرياضية لتقدير حجم الجريان السطحي .

### ٣.٢. متطلبات طريقة استخلاص (CN) :

تتراوح قيمة (CN) بين (0 – 100) وتعبر هذه القيمة عن مقدار نفاذية الأسطح للمياه، فكلما اقتربت القيم من (الصفر) يدل ذلك على ان السطح عالي النفاذية، وبالعكس من ذلك فعندما تقترب القيم من (100) حيث يدل ذلك على ان الأسطح قليلة النفاذية (Patil, 2014, p1285) . وللحصول على قيم ال(CN) يتم الاعتماد على مخرجات برنامج Arc Gis 10.8 (Gode) وذلك من خلال اجراء عملية الدمج لطبقتي استعمالات الارض وبين طبقة اصناف الترب الهيدرولوجية بعد الترميز (Gode)، وكل طبقة من الطبقات يجب ان تختلف في قيمتها عن الاخرى حتى لا يقوم البرنامج بدمج الفئات التي سيكون لها نفس القيمة، ومن خلال دمج طبقيتي (استعمالات الارض والترب الهيدرولوجية) من خلال أداة (Combine) داخل برنامج Arc Gis 10.8) ومن ثم تظهر القيم لحوض وادي جند.

### ٣.٣. المجموعات الهيدرولوجية لترية الحوض :

تم تصنيف التربة وفق طريقة (SCS-CN) الى اربع مجاميع هيدرولوجية للترب وهذه الترب لها مدلول رقمي وذلك وفقاً لمعدل سرعة انتقال الماء ومعدل ارتشاح التربة وقد سميت بالمجموعات الهيدرولوجية للتربة وقد قسمت الى (D,C,B,A)

ومن خلال الجدول (٦) نلاحظ ان لكل نوع من انواع التربة صفات ومميزات خاصة اذ يتبيّن ان صنف التربة (D,A) هاتين متطرفتين لسرعة وكمية الجريان السطحي، اذ يمثّل الصنف (A) جريان سطحي منخفض ويمثّل الصنف (D) جريان سطحي عالي، بينما الفئتان (B,C) فهما هاتين متوسطتين الجريان السطحي (العيدي ، ٢٠١٦ ، ص105)، وهي تصنّف على هذا النحو الاتي :

الجدول (٦) المجموعات الهيدرولوجية للتربة حسب تصنيف (SCS - CN)

صنف التربة	عمق الجريان	نوع التربة
A	قليل	طبقة رملية عميقه مع كمية قليله جدا من الطين والغرين
B	متوسط	طبقة رملية اقل عمق من A بمعدل ارتشاح متوسط بعد الترطيب
C	فوق المتوسط	طبقة طينية محددة العمق بمعدل ارتشاح دون الوسط قبل تشعّب التربة
D	عالي	طبقة طينية ذات نسبة انتفاخ عالية مع وجود طبقة ضحلة من ترب ناعمة القرية من السطح

Soil Conservation Service . Urban Hydrology for Small Watershed . Technical releases55، 2nd ، U.S.Dept of Agriculture، Washington D.C. 1986.

### ١.٣.٣ . المجموعة الهيدرولوجية A :

وهي تمثل المناطق ذات الجريان السطحي القليل وذلك بسب انها ترب رملية ذات نفاذية عالية للماء (الجوري ، ٢٠١٦ ، ص305)، كما ان الغطاء النباتي في المنطقة يساهم في أعاقة الجريان السطحي وبالتالي يعمل على الانخفاض في سرعة المياه الجارية مما يؤدي الى زيادة نسب التبخر فضلا عن تسرب كميات كبيرة من المياه داخل التربة، وكما مبين من الخريطة (٦) بأن هاذا النوع من الترب يتواجد في اغلب اجزاء الحوض، وتبلغ مساحتها نحو (٥٧.١ كم ٢) وتشكل نسبة قدرها(٤٢.٤٪) من مجموع المساحة الكلية للحوض، ينظر الجدول (٧).

### ٢.٣.٣ . المجموعة الهيدرولوجية B :

وهي تربة ذات نسيج خشن تتألف من الترب المزججية الغرينية ذات نفاذية ومسامية متوسطة فهي تساعد على تشكّل الجريان السطحي بشكل أكبر من الصنف (A) ويترافق معدل الارتشاح بين (7.62 - 3.81) ملم (حسن ، ٢٠٠٥ ، ص150)، ويبيّن من خلال الخريطة (٦) بمنها تتواجد في شرقى الحوض، وتقدر مساحتها نحو (١٤٤.١ كم ٢) وبنسبة قدرها (٦٧.٦٪) من مجموع مساحة الحوض الكلية، ينظر الجدول (٧) .

### ٤.٣ . تصنيف الغطاء الارضي :

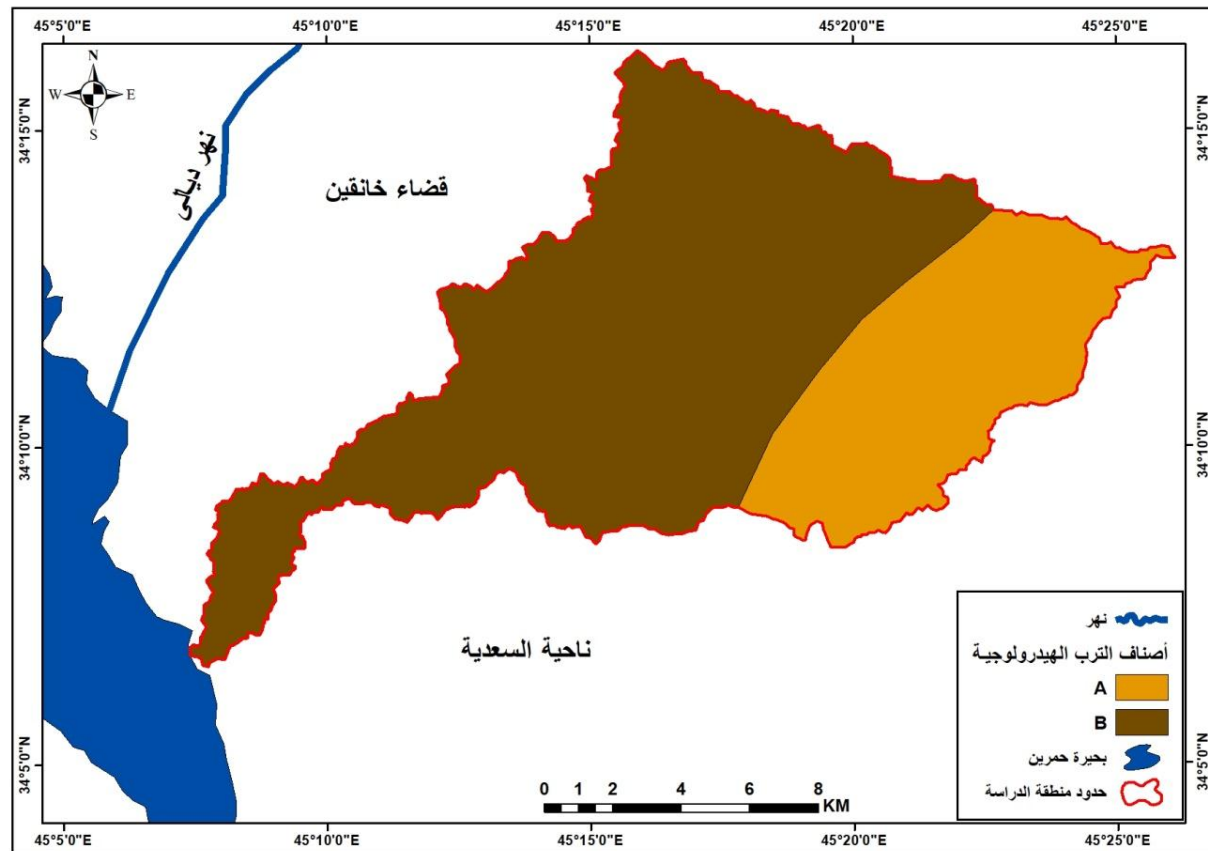
تم الاعتماد على المرئية الفضائية (Land sat 8) بتاريخ (٢٣-٣-٢٠٢٥) وبدقة (30) م للمنطقة ومن خلال الاعتماد على التصنيف الموجه الذي يعتمد في تصنيفه على مجموعات من الالوان الطيفية للغطاء الارضي وكذلك الاعتماد على الخرائط الطبوغرافية فضلا عن الدراسة الميدانية للمنطقة، ومن ثم تم اخضاع بيانات المرئية الفضائية لمراحل عديدة من المعالجات عبر استخدام برنامج (Arc Gis 10.8) ومن خلال دمج الباندات السبعة للمرئية تم استخدام الباندات (GBR) وهي تمثل الباند (3,5,7) ومن ثم يظهر الغطاء الارضي من خلال :

Tool Box      Datamanugmen tools      Raster precessing      Composite Bands Land sat  
الخريطة (٦) اصناف الترب الهيدرولوجية في حوض وادي جند

# تحليل الخصائص الهيدرولوجية لوادي جند شرق بحيرة حمرىن في محافظة دىالى باستخدام نموذج (SCS-CN) لتطبيق تقنيات حصاد المياه

أ.د. حسين كريم حمد الساعدي

م.د. علي راضي محسن العتابى



المصدر : الباحثان بالاعتماد على خريطة الفاو لسنة ٢٠٢٥ .

الجدول (٧) اصناف الترب الهيدرولوجية في حوض وادي جند

نسبة المئوية %	المساحة كم <sup>٢</sup>	أصناف الترب الهيدرولوجية	ت
28.4	٥٧.١	A	١
71.6	١٤٤.١	B	٢
المجموع			

المصدر : الباحثان بالاعتماد على الخريطة (٦)

ومن خلال تطبيق هذه الادوات على بيانات مرئية (Land Sat) الفضائية اتضح تصنیف الغطاء الارضي في حوض وادي جند كما مبين من الخريطة (٧) وعلى الشكل التالي :

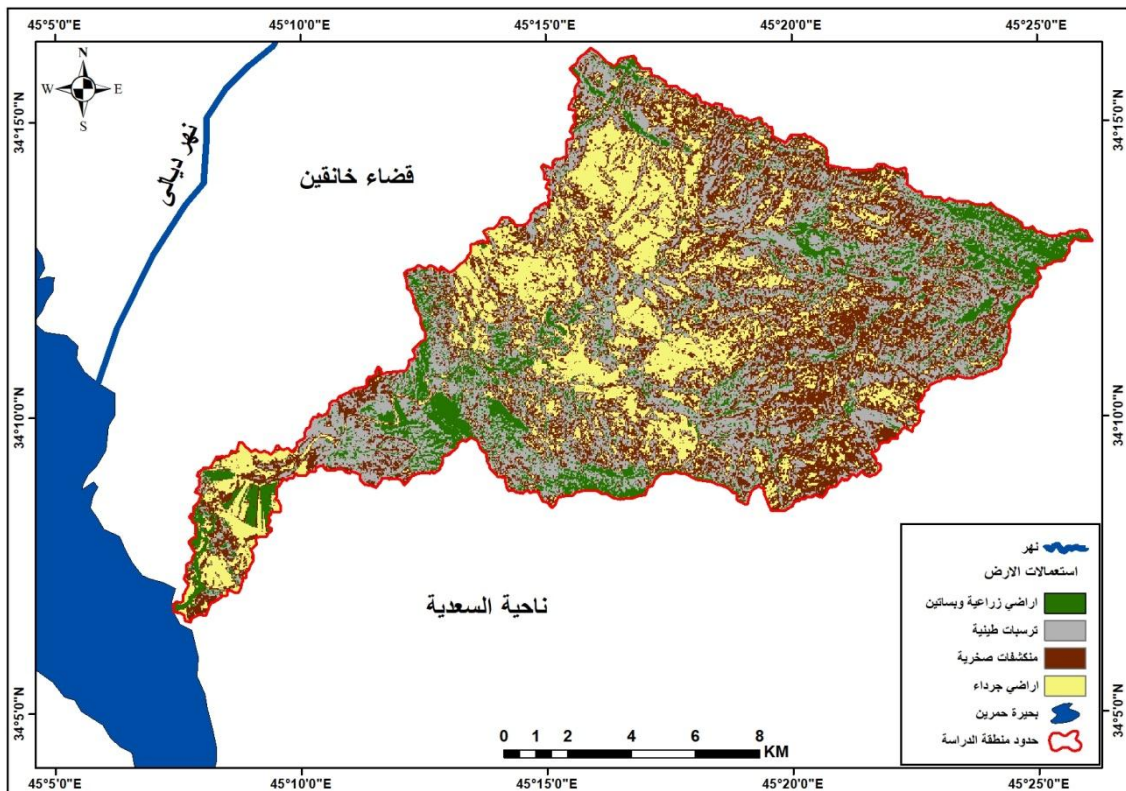
٣.١.٤.٣. أراضي زراعية :

ينظر من الخريطة (٧) . تتمثل هذه الفئة بالمناطق الزراعية التي تزرع بالمحاصيل المختلفة وخاصة الحنطة والشعير للموسمين الشتوي والصيفي التي تعتمد في عمليات السقي على مياه الابار والتساقط المطري التي تؤثر بشكل واضح على اعاقه الجريان السطحي، اذ تتحفظ كمية وسرعة المياه الجارية مع زيادة الارضي المزروعة وتبلغ مساحتها نحو (٢٥.١) كم<sup>٢</sup> ونسبة (١٢.٥%) من مساحة الحوض الكلية، كما يتضح من الجدول (٨) .

٣.٢.٤.٣. تربات طينية :

يضم هذا الصنف رواسب الأودية الخشنة وكذلك الففات الصخري المختلفة الحجم الذي يتكون بفعل التعرية وعمليات النقل والترسيب التي تتعرض لها صخور الأودية في حوض وادي جند، وتتميز هذه التربات بالمسامية المنخفضة التي لا تسمح بتسرب مياه الأمطار فتعمل على زيادة الجريان السطحي، وتزداد هذه التربات أثناء الموسم المطري وحدوث السيول وكذلك تنوع انحدار السطح في حوض منطقة الدراسة، وينتشر هذه الصنف في مناطق متفرقة وخاصة في بطون أودية منطقة الدراسة، ينظر خريطة (٧)، ويبلغ مساحة هذا الصنف نحو (٦٢.٨ كم٢) ونسبة (٣١.٢٪) من مساحة الحوض الكلي، ينظر الجدول (٨) .

الخريطة (٧) اصناف الغطاء الأرضي (استعمالات الأرض) في حوض وادي جند



المصدر : الباحثان بالاعتماد برنامج (Arc Gis 10.8) والمرئية الفضائية للقمر (LAND SAT 8) .

الجدول (٨) استعمالات الأرض في حوض وادي جند

الفئات	المساحة كم	النسبة %	ت
أراضي زراعية	٢٥.١	12.5	١
تربسات طينية	٦٢.٨	31.2	٢
منكشفات صخرية	٦٨.١	33.8	٣
أراضي جرداء	٤٥.٢	22.5	٤
المجموع	٢٠١.٢	١٠٠	

المصدر : الباحثان بالاعتماد على الخريطة (٧)

# تحليل الخصائص الهيدرولوجية لوادي جند شرق بحيرة حمرین في محافظة ديالى باستخدام

## نموذج (SCS-CN) لتطبيق تقنيات حصاد المياه

أ.د. حسين كريم حمد الساعدي

م.د. علي راضي محسن العتابي

### ٣.٤.٣. أراضي منكشفات صخرية :

يتكون هذا الصنف من مناطق عارية ذات طبيعة صخرية منكشفة تعرضت مع الوقت للتعرية المائية الناتجة من التساقط المطري الشديد فضلاً عن ذلك تعرضت للتعرية بواسطة الجريان السطحي السائل الذي يقوم بنقل وتعرية الطبقة العليا من التربة، وتباين شدة وصلابة المنكشفات الصخرية في المنطقة إلا أنها في العموم ضعيفة المسامية لا تسمح بتسرب المياه بكميات كبيرة إلا في بعض المناطق بسبب وجود الشقوق والفاصل الذي يتكون معظمها من الصخور الكلسية التي تتميز بقلة النفاذية وتنتشر هذه المنكشفات في الأجزاء الوسطى بين الحدود العراقية الإيرانية وكذلك في الأجزاء العليا من الحوض، ولاسيما في سفح المرتفعات الجبلية التابعة لسلسلة مرتفعات حمرین (الكرخي ، الجنابي ، ٢٠١٨ ، ص ٥١٤) . ينظر الخريطة (٧)، ويلاحظ من الجدول (٨) أنها تبلغ مساحة نحو (٦٨٠.١ كم٢) وبنسبة (٣٣.٨٪) .

### ٤.٤.٣. أراضي جرداً :

ويتمثل هذه الصنف في جميع الأراضي الغير مستغلة في الحوض كما يتبيّن من خلال الخريطة (٧)، وتتوزع هذه الفئة في جميع مناطق الحوض ما عدا الأجزاء العليا من المنطقة عند منابع الحوض لانتشار المراعي الطبيعي، ويتبّين من خلال الجدول (٨) تبلغ مساحتها نحو (٤٥٠.٢ كم٢) وبنسبة (٢٢.٥٪) من مساحة الحوض الكلية وتتميز هذه الفئة بأن التربة ذات مسامية مختلفة وتبعاً لذلك تختلف قدرة المياه على التسرب من خلالها ويسبب قلة كثافة الغطاء النباتي والتباين في اندثار السطح الامر الذي ساعدة على مقدرتها زيادة الجريان السطحي.

### ٤.٥. الحالة المسبقة لرطوبة التربة :

وهي من ابرز واهم المتطلبات الأساسية للحصول على قيمة (CN) وهي تقوم بتعريفة وتحديد الحالة المسبقة لرطوبة التربة (AMC)، ولها دور مهم على حجم الجريان السطحي لذلك قامة المختصون بتطوير طريقة (SCS) بوضع نموذج خاص بها لتحديد قيمة (CN)، وهي تمثل مؤشر للمحتوى الرطوي للتربيّة قبل بدء التساقط المطري (الجبوري ، ٢٠١٦ ، ص ٣٠٩)، وتم تقسيم حالة الرطوبة المسبقة إلى ثلاثة مستويات وهي :

١- المستوى الأول (AMC I) وهي تختص بالتراب الجافة .

٢- المستوى الثاني (AMC II) وهي تمثل الحالة الاعتيادية للتربيّة .

٣- المستوى الثالث (AMC III) وهي تمثل المناطق الرطبة ذات التساقط المطري الغزير مع انخفاض في درجات الحرارة وذلك لخمسة أيام سابقة لحساب سرعة وكمية الجريان السطحي (Santhi, Muthu , 2015 , p3) .

وان لكل مستوى رطوبة قيم (CN) خاص به تتراوح بين (0 - 100) ومن خلال الجدول (٩) وتقدير كمية الامطار في المنطقة تم تحديد الحالة الثانية لرطوبة التربة (AMCII) في هذا البحث التي تمثل بالحالة الاعتيادية للتربيّة لاحساب الخصائص الهيدرولوجية للجريان السطحي لحوض وادي جند .

الجدول (٩) تصنیف (SCS) للحالة المسبقة لرطوبة التربة

الحالة المسبقة لرطوبة التربة	مجموع هطول الامطار لخمس أيام سابقة (ملم)
AMC I	اقل من ٣٥
AMC II	٣٥ - ٥٢.٥
AMC III	اكثر من ٥٢.٥

المصدر : الباحثان بالاعتماد على خلون رحمان علوان الجشععي، تقدير حجم الجريان السطحي لحوض وادي دال كوز، رسالة ماجستير ، كلية التربية للعلوم الإنسانية - جامعة ديالى، ٢٠١٧، ص ١٠٤.

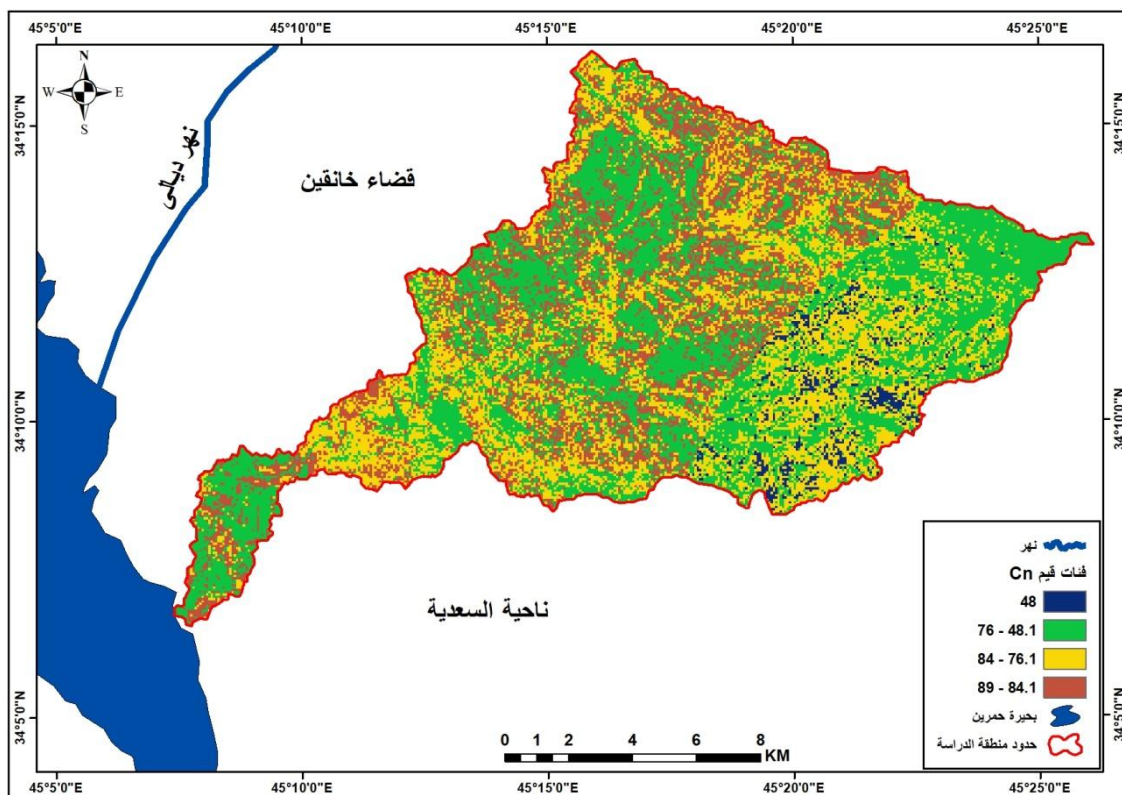
### ٦.٣. استخلاص الأرقام المنحنية (CN) لحوض وادي جند :

وبعد اكمال المتطلبات الاساسية لاستخلاص قيم طريقة (CN) ويتم ذلك من خلال دمج طبقتي المجموعة الهيدرولوجية للتربة مع الغطاء الأرضي بواسطة الاداة (Combine) في بيئة برنامج (Arc Gis 10.8) ويتم اشتقاق تلك القيم على النحو الاتي :

Spatial Analyst Tools → Local → Combine

يتضح من الجدول (١٠) وجود تباين واضح بين الفئات من حيث المساحة التي تشغليها، وجاءت الفئة الأولى، (٤٨)، بالمرتبة الأخيرة، ومساحة بلغت (٦.١ كم٢) وبنسبة قدرها (٣٦%)، وهي من الفئات المنخفضة في استجابتها لتوليد الجريان السطحي وذلك لزيادة نفاذية التربة وضحلاتها وكذلك ارتفاع نسبة التربسات فيها وتنشر هذه الفئة في مناطق متباعدة من الاجزاء الشرقية في منطقة الدراسة، أما الفئة الرابعة فقد جاءت بالمرتبة الثالثة من حيث المساحة اذ بلغت (٤٣.٢ كم٢) وبنسبة قدرها (٥٢.٥%)، وهي من أكثر الفئات توليد للجريان السطحي في المنطقة وذلك بسبب قلة نفاذية التربة وفضلا عن ارتفاع درجة انحدارها وتنشر هذه الفئة في الاجزاء الشمالية وخاصة على المرتفعات والسفوح الجبلية وكذلك في اقدام التلال والمناطق الهضبية، وقد تباينت بقية الفئات في مساحتها بين هذه القيم واحتلت مساحة قليلة من حوض وادي جند . ويتبين مما كر اعلاه ان اغلب مساحة منطقة الدراسة تتميز بارتفاع قيم (CN) وهي مؤشر تدل على ان نسبة كبيرة من مساحة من حوض وادي جند يمكنها توليد جريان سطحي اذ يلاحظ ان اغلب القيم تتجاوز (٥٠)، وهذا يدل على امكانية الحوض من تكوين جريان سطحي مع قلة الارتشاح للتربة .

الخريطة (٨) توزيع فئات قيم (CN) لحوض وادي جند



المصدر : الباحثان بالاعتماد على طبقتي الغطاء الأرضي وفئات التربة الغطاء الأرضي والترب الهيدرولوجية و برنامج (Arc Gis 10.8)

الجدول (١٠) فئات قيم (CN) لحوض وادي جند

# تحليل الخصائص الهيدرولوجية لوادي جند شرق بحيرة حمرىن في محافظة دىالى باستخدام

## نموذج (SCS-CN) لتطبيق تقنيات حصاد المياه

أ.د. حسين كريم حمد الساعدي

م.د. علي راضي محسن العتابى

ن.ت	الفئات	المساحة كم	النسبة %
١	٤٨	٦.١	٣
٢	٤٨.١ - ٧٦	٨٧.٦	٤٣.٥
٣	٧٦ - ٨٤	٦٤.٣	٣٢
٤	٨٤ - ٨٩	٤٣.٢	٢١.٥
	المجموع	٢٠١.٢	١٠٠

المصدر : الباحثان بالاعتماد على الخريطة (٨) .

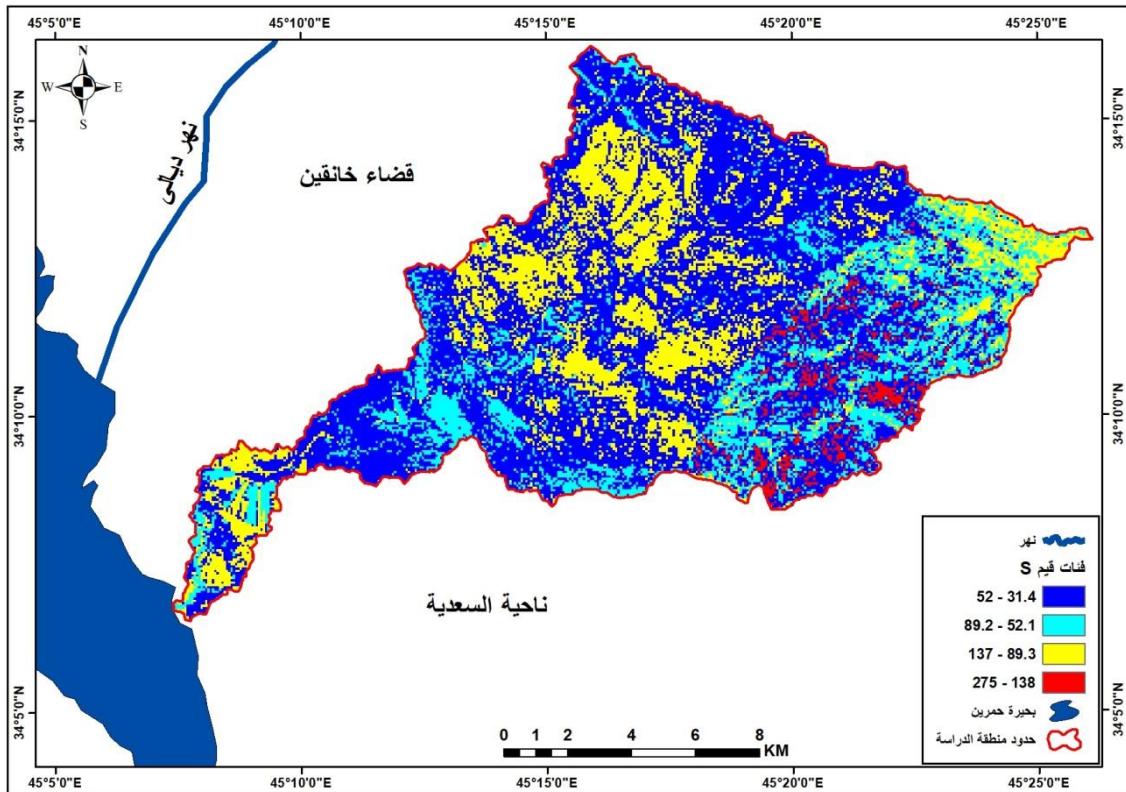
### ٧.٣ حساب معامل الامكانية القصوى للاحفاظ بالماء بعد الجريان السطحي (S) :

يشير معامل (S) الى الامكانية القصوى للاحفاظ بالماء او حبسه في التربة بعد بدء الجريان السطحي، ويصف قيم معامل (S) حالة التربة المشبعة بالماء وذلك بعد توقف عمليات التسرب داخل التربة وبدء الجريان السطحي، ويختلف سماكة طبقة التربة المشبعة بالماء تبعاً لخصائص ونوع التربة ومدى قدرتها على امتصاص أكبر قدر من المياه أثناء التساقط المطري وتسربيها إلى داخل التربة ومن خلال ذلك يمكن التأكيد أن هذا المعامل له علاقة مباشرة بنوع الاستعمال الأرض ونوعية التربة (الجبوري ، 2020 ، ص226)، اذ كلما اقتربت قيم (S) من الصفر يدل ذلك على انخفاض قدرة التربة على الاحفاظ بالماء خلال بدء عملية الجريان وذلك يؤدي إلى الارتفاع في كمية الجريان السطحي للمياه على سطح الأرض، وعلى العكس من ذلك حين تزداد قيمة معامل (S) ترتفع الامكانية التربة على الاحفاظ بالماء على سطح الأرض مما يسبب انخفاض توليد الجريان السطحي للمياه ، ويتم حساب معامل قيم (S) التي تعرف بالجمع السطحي للمياه خلال بدء الجريان السطحي يكون من خلال الاعتماد على المعادلة الرياضية الآتية ( Almasri, Shadeed , 2010 ، p7 ) :

$$S = \frac{25400}{CN} - 245$$

لقد تم حساب قيم (S)، وفق المعادلة اعلاه واستخراج نتائج المعادلة بالاعتماد على برنامج (Arc Gis 10.8)، وباستعمال (Raster Calculator) للحصول على نتائج وقيم ومن خلال استخدامها تم استخراج خريطة لتحديد هذه القيم فضلاً عن حساب مساحتها ونسبتها المئوية، كما يتضح من الجدول (١١) والخريطة (٩) ان قيمتها تراوحت بين (٣١.٤) ملم ، وهي الاقل قدره على الاحفاظ بالماء وتوليد أكبر قدر من الجريان السطحي وبين (٢٧٥) ملم ، وهي من أكثر للأجزاء قدرة على الاحفاظ بالماء، ويلاحظ من الخريطة أن أغلب أجزاء منطقة الدراسة تقع ضمن الفئات (٣١.٤ - ٥٢) ملم، لمعامل (S)، وبمساحة بلغت (١١١.٤ كم٢) وبنسبة مقدارها (٤٥.٤%) وهذا يدل على حدوث الجريان السطحي في حوض وادي جند.

الخريطة (٩) فئات توزيع قيم (S) ملم في حوض وادي جند



المصدر : الباحثان بالاعتماد على بقتي غطاء الأرض وففات التربة وبرنامج (Arc Gis 10.8).

الجدول (١١) توزيع قيم (S) في حوض وادي جند

النسبة %	المساحة كم²	الفئات	ت
٥٥.٤	١١١.٤	٥٢ - ٣١.٤	١
١٨.٦	٣٧.٥	٨٩.٢ - ٥٢.١	٢
٢٣.٥	٤٧.٢	١٣٧ - ٨٩.٣	٣
٢.٥	٥.١	٢٧٥ - ١٣٨	٤
١٠٠	٢٠١.٢	المجموع	

المصدر : الباحثان بالاعتماد على الخريطة (٩)

#### ٨.٣ حساب معامل الاستخلاص الأولي (Ia)

يشير معامل الاستخلاص الأولي (Ia) إلى مقدار مياه الأمطار المفقودة قبل بدء عملية الجريان السطحي وذلك من خلال التبخّر أو اعتراض المياه من خلال النباتات، أو عن طريق التسرب أو من خلال المياه المتجمعة في المنخفضات السطحية، وهذا يدل على الارتباط الوثيق بخصائص التربة ودرجة مساميتها فضلاً عن ذلك ارتباطها بالغطاء الارضي لذلك يعد معامل الاستخلاص الأولي مهم جداً في تقدير الجريان السطحي، وكذلك يرتبط بمعامل (S) إذ يمثل خمس قيمتها، وتدل القيم المنخفضة التي تقترب من الصفر لهذا المعامل على انخفاض كمية مياه الأمطار المفقودة قبل بدء الجريان السطحي، في حين تكون قيمة هذا المعامل (Ia) مساوية لمعدل المياه الجارية على السطح إذ بلغت قيمة هذا المعامل (50.8) ملم (المتيوتي، ٢٠١٥، ص ١٥٧). ويمكن استخراج قيم هذا المعامل من خلال المعادلة الآتية (الجبوري ، ٢٠١٦ ، ص ١١٧) :

$$Ia = 0.2 S$$

# تحليل الخصائص الهيدرولوجية لوادي جند شرق بحيرة حمرىن في محافظة دىالى باستخدام

## نموذج (SCS-CN) لتطبيق تقنيات حصاد المياه

أ.د. حسين كريم حمد الساعدي

م.د. علي راضي محسن العتابى

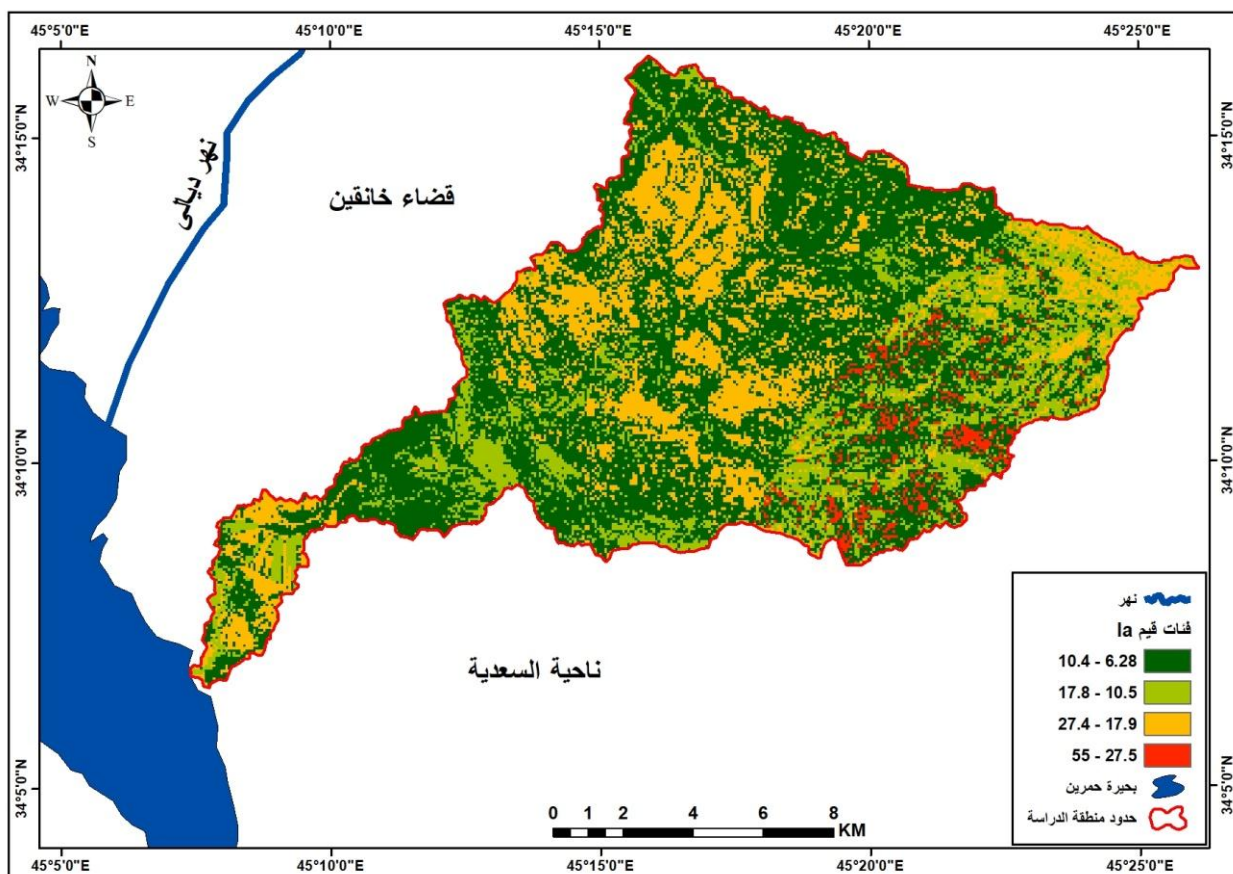
ومن حساب قيم (la) واستخراج النتائج من خلال برنامج (Arc Gis 10.8)، ومن خلال استخدام الاداة (Raster Calculator) ضمن ادوات المحل المكانى (Spatial Analyst) تم استخراج الخريطة (Raster)، التي أظهرت قيم البكسلات (Pixels) المتباينه بلون واحد ومن ذلك اتضح ان قيم معامل (la) تتراوح بين (٦٠.٢) ملم، كأقل فاقد أولى للمياه الجارية، وبين (٥٥) ملم، كأعلى فاقد للجريان السطحي، ينظر الجدول (١٢) والخريطة (١٠) اذ يتضح ان اغلب منطقة الدراسة يمكنها ان تولد جريان سطحي للمياه وبكميات كبيرة .

### ٩.٣ قياس عمق الجريان السطحي السنوي (Q) :

يعبر عن عمق الجريان السطحي هو مقدار ما يجري من مياه الامطار على سطح الارض خلال حصول عاصفة مطري بغض النظر عن المساحة التجميعية للحوض، وقد تم قياس عمق الجريان السطحي (Q) لحوض وادي جند من خلال الاعتماد على معطيات المعادلة الآتية (السعادي ، الجابري، ٢٠١٨، ص314) :

$$Q = \frac{(p - la)^2}{p - la + s}$$

الخريطة (10) توزيع قيم (la) في حوض وادي جند



المصدر : الباحثان بالاعتماد على نتائج معادلة (S) و (la) ضمن برنامج (Arc Gis 10.8)

الجدول (١٢) توزيع قيم (la) في حوض وادي جند

الفئات	المساحة كم	النسبة %	ت
٦.٢ - ١٠.٤	٩٨.٣	٤٨.٩	١
١٠.٥ - ١٧.٨	٣٣.٧	١٦.٧	٢
١٧.٩ - ٢٧.٤	٥٥.١	٢٧.٤	٣
٢٧.٥ - ٥٥	١٤.١	٧	٤
المجموع	٢٠١.٢	١٠٠	

المصدر : الباحثان بالاعتماد على الخريطة (١٠)

اًذ ان

$Q$  = عمق الجريان السطحي (بالبوصة)

$P$  = كمية الأمطار الساقطة (بالبوصة)

$la$  = الاعراض الأولى قبل بدء الجريان السطحي تمثل بالتسرب والتبخّر والنباتات

$S$  = التجمع السطحي بعد بداية الجريان السطحي (بالبوصة)

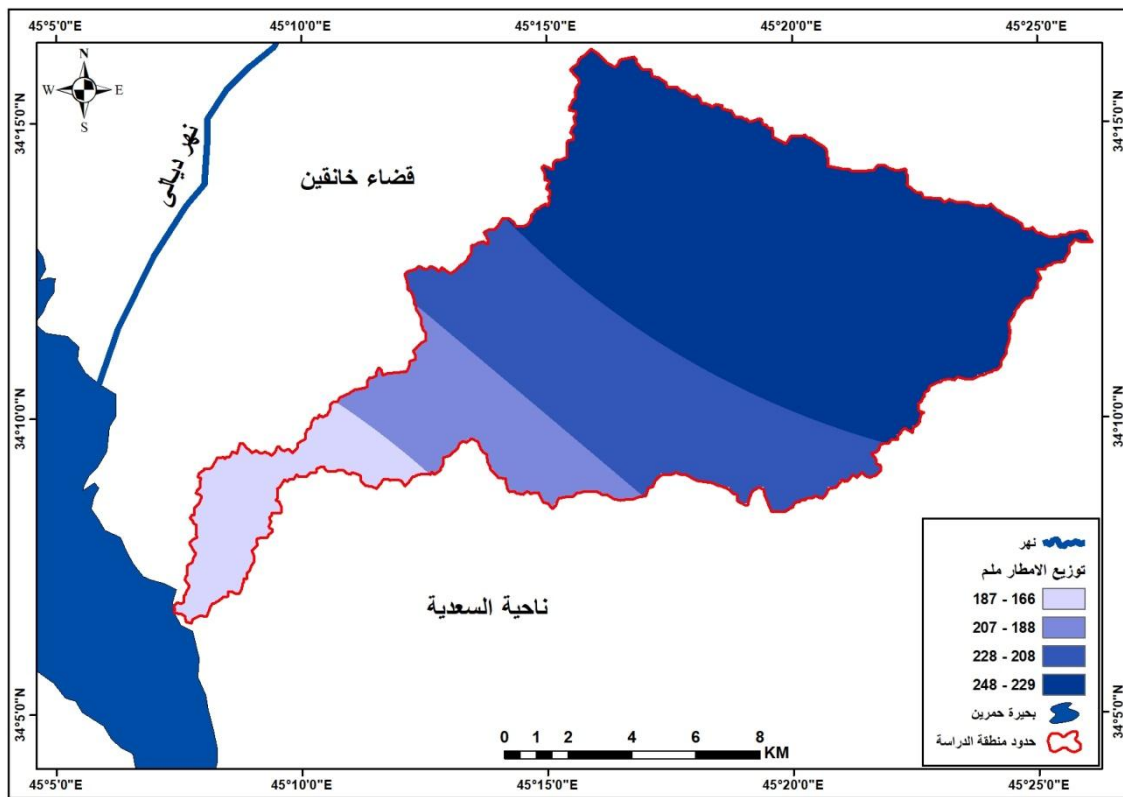
ومن خلال قيم (la، S، Cn) ومن ثم الاعتماد على المتوسط السنوي لكميات الامطار الساقطة لمحطات منطقة الدراسة وانشاء الخريطة (١١)، التي تم الاعتماد عليها في حساب الجريان السطحي لحوض وادي جند كذلك استعمال الحاسبة الخلوية (Raster Calculator) في برنامج (Arc Gis 10.8)، اذ تم من خلالها احتساب عمق الجريان السطحي، وحسب المعادلة اعلاه، كما يتضح من الجدول (١٢) والخريطة (١٣) اذ بلغت اعلاها في الفئة الرابعة التي تراوحت بين (١٦٠ - ١٧٤) ملم، في المناطق العليا من منابع الحوض، بمساحة نحو (٤٠٠.١ كم<sup>٢</sup>) وبنسبة قدرها (١٩.٩ %)، بينما بلغت ادنها في الفئة الأولى التي تتراوح بين (٤٠٤.٥) ملم، في منطقة المصب بمساحة قدرها (٢١٠.١ كم<sup>٢</sup>)، وبنسبة قدرها (١٠ %)، هذا يشير الى وجود تباين في قيم عمق الجريان السطحي بين منطقة المصب والمنبع مما يؤدي الى حدوث الجريان السطحي المتجمع في منطقة مصب الحوض .

# تحليل الخصائص الهيدرولوجية لوادي جند شرق بحيرة حمرىن في محافظة دىالى باستخدام نموذج (SCS-CN) لتطبيق تقنيات حصاد المياه

أ.د. حسين كريم حمد الساعدي

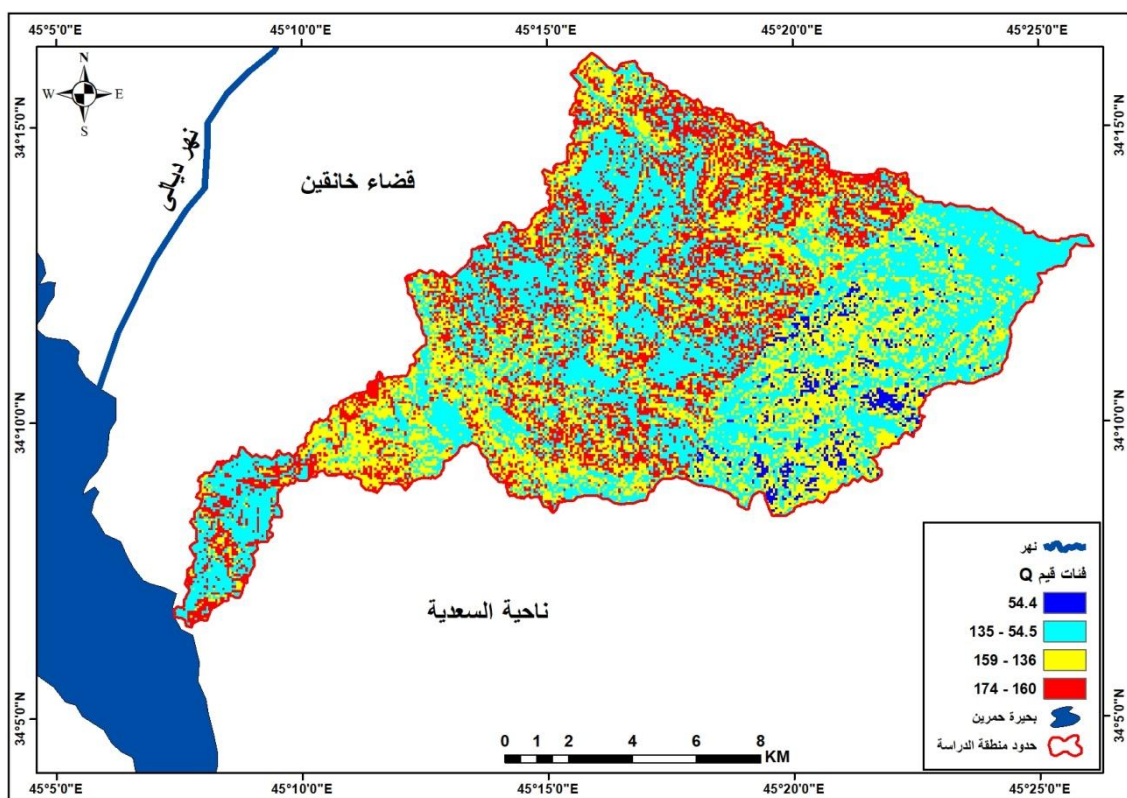
م.د. علي راضي محسن العتابى

الخريطة (11) خطوط عمق المطر (ملم) المتساوية في منطقة الدراسة



المصدر :

الباحثان بالاعتماد على بيانات الأمطار في محطات منطقة الدراسة، ومخرجات برنامج (Arc Gis 10.8) (Arc Gis 10.8)  
الخريطة (12) فئات عمق الجريان السطحي (Q) في حوض وادي جند



المصدر : الباحثان بالاعتماد على معادلة (Q) ومخرجات برنامج (Arc Gis 10.8) .

جدول (١٣) فئات عمق الجريان السطحي (Q) في حوض وادي جند

الفئات	المساحة كم²	النسبة %	ت
٥٤.٤	٢٠٠.١	١٠	١
١٣٥ - ٥٤.٥	٧٩.٨	٣٩.٧	٢
١٥٩ - ١٣٦	٦١.٢	٣٠.٤	٣
١٧٤ - ١٦٠	٤٠.١	١٩.٩	٤
المجموع	٢٠١.٢	١٠٠	

المصدر : الباحثان بالاعتماد على الخريطة (١٢)

### ١٠٣ . تقدير حجم الجريان السطحي (QV) :

تم استخراج حجم الجريان السطحي لحوض وادي جند من خلال الاعتماد على الطبقات (S - al - Q) وقد تم أدخال المعادلة في برنامج (Arc Gis 10.8) ومن خلال ادوات التحليل المكاني (Spatial Analyst) تم استخدام الحاسبة الخلوية (Raster Calculator) ومن خلال تطبيق المعادلة الآتية (الجبوري ، ٢٠٢٠ ، ص232) :

$$QV = (Q * A) / 1000$$

اذ ان :

$QV$  = حجم الجريان السطحي

$Q$  = عمق الجريان السطحي / ملم

$A$  = مساحة حوض التصريف / كم²

١٠٠٠ = معامل التحويل (ملم) الى (متر)

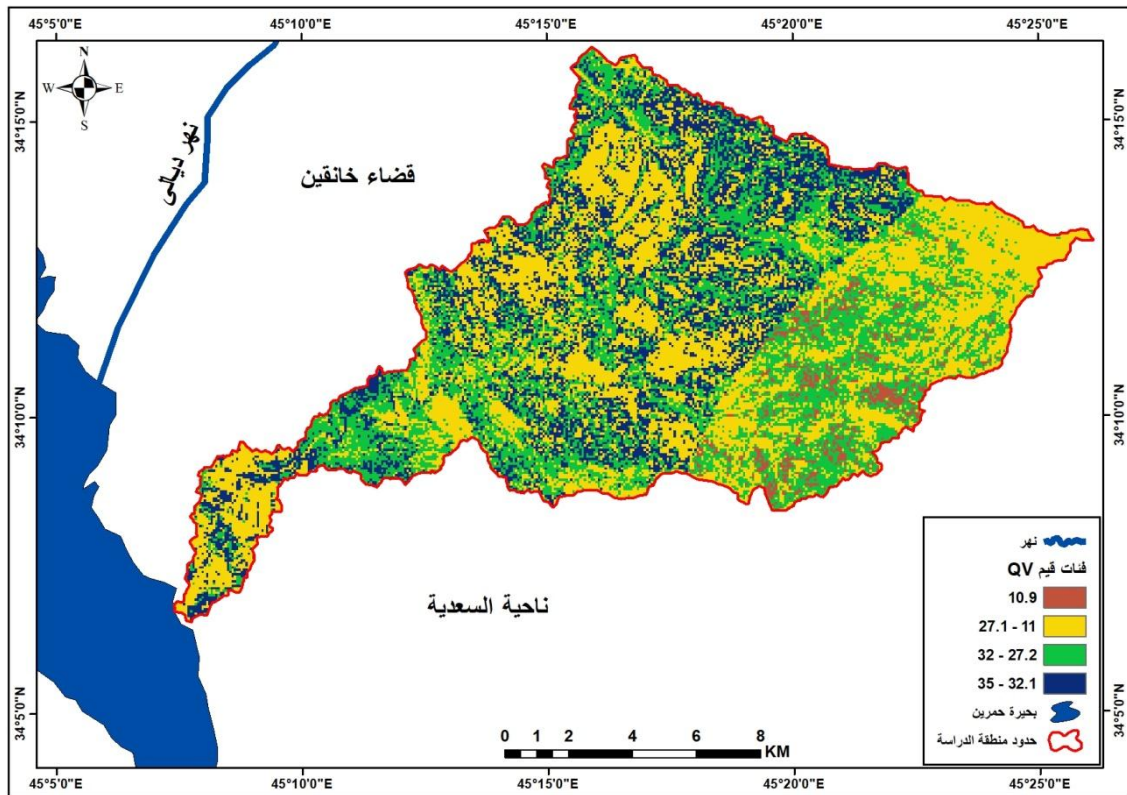
ومن خلال تطبيق المعادلة أعلاه تم احتساب حجم الجريان السطحي (QV)، (Runoff Volume) وباستخدام برنامج (Arc Gis 10.8)، وبعد استخراج قيم (Q) وكل بكسل موجود ومن خلال استخراج مساحتها التي بلغت (٣٠ × ٣٠ م²) مما جعل لها قيم ثابتة لمساحة البكسلات قدرها (٩٠٠ م²)، وعند تطبيق معادلة حجم الجريان السطحي (QV)، وكما موضح في الجدول (١٤) والخريطة (١٣)، اذ اظهرت النتائج بان أعلى جريان سطحي تمثل في الفئة الرابعة ويتراوح بين (٣٢٠.١ - ٣٥٣ م³)، التي بلغ مساحتها (٣٣٠.٣ كم²) وبنسبة (٦.٦%)، في حين بلغ أدنى جريان سطحي في منطقة الدراسة (١٠٠.٩ م³)، المتمثل بالفئة الأولى وبمساحة قدرها (١٨٠.١ كم²) وبنسبة بلغت (٩.٦%) .

الخريطة (١٣) فئات حجم الجريان السطحي (QV) في حوض وادي جند

# تحليل الخصائص الهيدرولوجية لوادي جند شرق بحيرة حمرىن في محافظة دىالى باستخدام نموذج (SCS-CN) لتطبيق تقنيات حصاد المياه

أ.د. حسين كريم حمد الساعدي

م.د. علي راضي محسن العتابى



المصدر : الباحثان بالاعتماد على نتائج معادلة (QV) ومخرجات برنامج (Arc Gis 10.8) .

الجدول (١٤) توزيع قيم حجم الجريان السطحي (QV) في حوض وادي جند

النسبة %	المساحة كم²	الفئات	ت
٩	١٨.١	١٠٠.٩	١
٤٥.٥	٩١.٥	٢٧.١ - ١١	٢
٢٩	٥٨.٣	٣٢ - ٢٧.٢	٣
١٦.٦	٣٣.٣	٣٥ - ٣٢.١	٤
١٠٠	٢٠١.٢	المجموع	

المصدر : الباحثان بالاعتماد على الخريطة (١٣)

## ٤. الحصاد المائي في حوض وادي جند

تشكل سدود التخزين السطحية مصادر مائية مهمة، فهي تخزن مياه فيضانات الأودية على سطح الأرض وبين الجبال، ويتم تخزينها لاستخدامها لأغراض الإستخدام المنزلي والزراعة، أو من أجل الحماية من الفيضانات، وقبل البدء بعملية بناء السد يجب إجراء الدراسات لضمان أمان السد وعدم تدهمه بعد فترة قصيرة ، ومن أهم الدراسات الالزمة قبل بناء السد:

١. دراسات جيولوجية تشمل دراسة الطبقات الصخرية وطبيعة المنطقة التكتونية.
٢. دراسات هيدرولوجية وتشمل دراسة كميات الأمطار الساقطة والمياه السطحية .
٣. دراسات جيوبقنية : والتي تقوم بدراسة نفاذية التربة وقياس خواص الصخور.

٤. دراسات طبوغرافية والتي تهتم بدراسة الارتفاعات وأشكال سطح الأرض والانحدارات تبين الخرائط الجيولوجية بان تكون باي حسن هي أكثر التراكيب الجيولوجية حفظاً للمياه على عكس غيره من التراكيب، ويقع هذا التركيب في شمال وجنوب

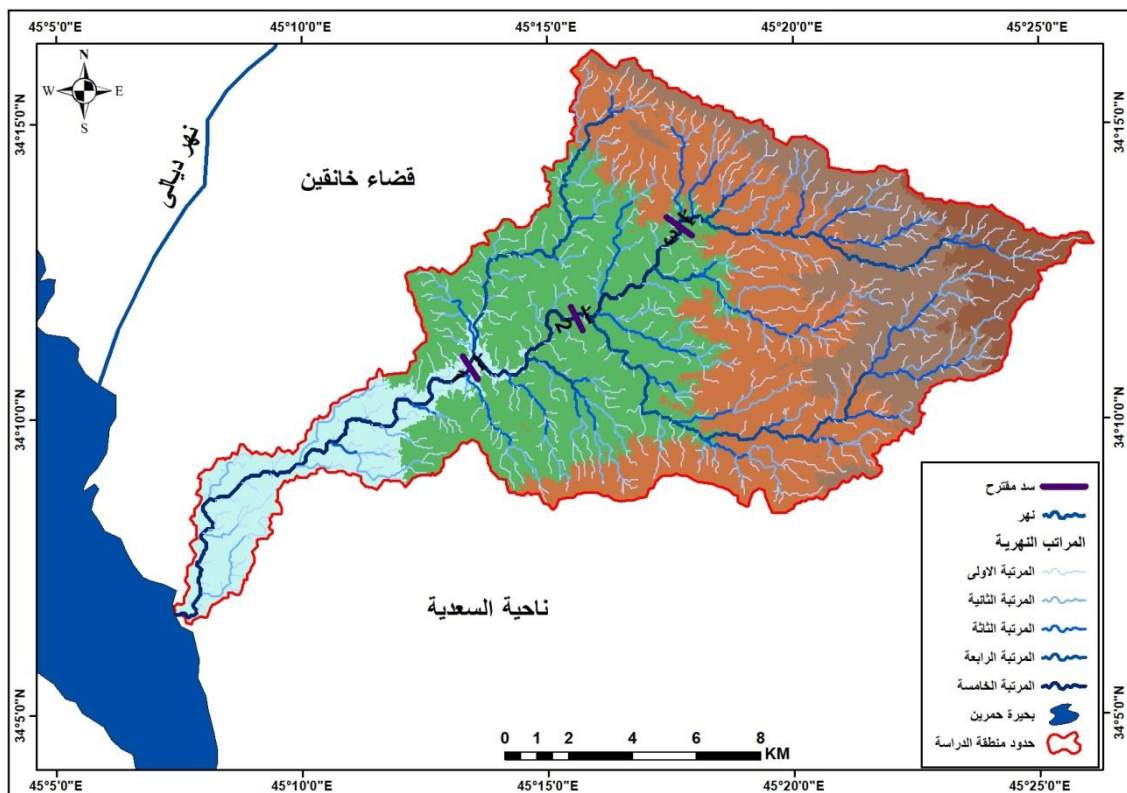
منطقة الدراسة، حيث يبلغ اخفض ارتفاع فيها حوالي ١٢٠ م فوق مستوى سطح البحر، وهو نفس المكان الذي يستحوذ على، أكبر تجمعات للمياه بسبب وقوعه في، منطقة المصب كما توضح مجموعة خرائط الدراسة.

تم اقتراح ثلث مواقع للسدود باستخدام برنامج Model Builder في نظم المعلومات الجغرافية بناء على مجموعة من المتغيرات ذات البعد المكاني والتي تؤثر على اختيار موقع اقامة السد، وهذه المتغيرات هي أنواع الصخور والتحليل الهيدرولوجي للمنطقة وطبيعتها ومساحة الأحواض وكمية التساقط ، وما يجدر ذكره بأن نوع التربة لم يؤخذ بعين الاعتبار بشكل اساسي ، لأن سمك التربة في المنطقة لا يتجاوز المتر وبالتالي لا يوجد لها تأثير كبير في اقتراح موقع السد ، وسيقوم هذا الموديل (النموذج) بتحليل هذه العوامل لإنشاء السدود في أفضل المواقع التي تتوافق مع الصخور والتربة قليلة النفاية ، ومع التحليل الهيدرولوجي لتجمع المياه (Q) خريطة (١٢) ، توضح تحليل الموديل ، وسيتم الأخذ بعين الاعتبار أيضاً الفوارق الطبيعافية الصغيرة في المنطقة للتخفيف من تكلفة البناء كما توضح الخريطة (١٤) .

واظهر لنا تحليل الموديل وجود ٨ منطقة مناسبة لتجمیع المیاه فيها في حوض وادی جند ولكن سیتم اخترال المواقع الى افضل ٣ مواقع من خلال اختيار معايير طبغرافية، كما وضحت خريطة (١٤) .

وتم فقط اختيار (٣) مواقع لإنشاء السدود، وقد اتسمت المواقع في اختيارها بالمساحة الطبيعافية الضيقه بناء على الخصائص الطبيعافية المشتقة من المقطع الطبعغرافي الذي تم إنشاؤه لكل منطقة من مواقع الإنشاء، وتبيّن أن هذه السدود تقع على ارتفاع يتراوح بين (١٩١ - ١٤٦ م) فوق مستوى سطح البحر، إذ أن حجم خزان السد الأول بطاقة تخزينية تقدر (١٥٦٤٨٥٠٠ م٣) وعلى ارتفاع بلغ ١٤٦ متر، أما السد الثاني فبلغت طاقته التخزينية (٨٨٠٢٣٠٠ م٣) وعلى ارتفاع ١٧٣ متر، في حين تبلغ الطاقة التخزينية للسد الثالث (٤٢٣٥٦٠٠ م٣) وعلى ارتفاع ١٩١ متر .

#### خريطة (٤) افضل الموقع لإنشاء السدود في حوض منطقة الدراسة



المصدر : الباحثان بالاعتماد على برنامج (Arc Gis 10.8)

# تحليل الخصائص الهيدرولوجية لوادي جند شرق بحيرة حمرین في محافظة دیالی باستخدام

## نموذج (SCS-CN) لتطبيق تقنيات حصاد المياه

أ.د. حسين كريم حمد الساعدي

م.د. علي راضي محسن العتابي

جدول (١٥) مناسبات الارتفاع والتخزين لموقع السدود المقترحة لحوض وادي جند

الارتفاع / متر	حجم التخزين م <sup>3</sup>	السد المقترن
١٤٦	15648500	الاول
١٧٣	8802300	الثاني
١٩١	4235600	الثالث
-	28686400	المجموع

المصدر : الباحثان بالاعتماد على خريطة (١٤) و برنامج (Arc Gis 10.8)

الاستنتاجات :

- اظهرت الدراسة ومن خلال تصنيف الترب الهيدرولوجية أنَّ أغلبها يقع ضمن المجموعة الهيدرولوجية للترية (B) تقدر بحوالي (١٤٤.١) كم٢ وبنسبة بلغت نحو (٦١.٧%) من مساحة الحوض.
- بيّنت الدراسة ان تصنيف الغطاء الارضي السائد هي المنكشفات الصخرية وهي تنتشر في اجزاء متفرقة من الحوض التي تشغّل اكبر الاصناف في المنطقة اذ تبلغ مساحتها (٦٨٠.١) كم٢ ، وبنسبة بلغت (٣٣.٨%) من مساحة الحوض وتساهم هذه الارضي بنسبة عالية على زيادة جريان المياه اثناء مدد التساقط المطري بسبب انعدام الغطاء النباتي فيها.
- توصّلت الدراسة إلى استخلاص قيم الارقام المنحنية (Curve Number) وباعتبار أنَّ الحالة المسبقة لرطوبة التربة الحالة المعتدلة، وتراوحت قيم (CN) بين (٤٨ - ٨٩) إذ جاءت اعلى الفئة الثانية من حيث المساحة هي (٤٨.١ - ٧٦) اذ شغلت مساحتها (٨٧.٦) كم٢ من مساحة الحوض الكلية، التي تدع من الفئات ذات استجابة متوسطة للجريان السطحي وذلك لقلة نفاذية التربة وارتفاع درجة انحدارها.
- بيّنت الدراسة ان اعلى قيمة لـ (Q) في الحوض سجلت (١٧٤) ملم ، بمساحة شغلت (٤٠.١) كم٢ وبنسبة بلغت (٩١.٩%) من مساحة الحوض.
- توصّلت الدراسة ان قيم (QV) تتراوح بين (٣٥ - ١٠٠.٩) م اذ بلغ اعلى جريان سطحي في الحوض (٣٥) م وبنسبة مقدّرها (٣٣.٣) كم٢ وبنسبة (٦٦.٦%) من اجمالي مساحة الحوض.
- اظهرت نتائج الدراسة الى امكانية اقامة ثلاثة سدود صغيرة لخزن المياه وحصادها بطاقة تخزينية (٦٨٦٤٠٠) م٣ ، اذ يمكن الاستفادة منها في كافة الانشطة البشرية في منطقة الدراسة .

بناء على النتائج التي توصلت إليها الدراسة، يمكن وضع المقترنات الآتية:

- اعطاء اهمية اولوية لتقنيات حصاد المياه وفق اسس علمية وتشجيع البحوث والدراسات بهذا المجال .
- اكتست الدراسة على انشاء محطات هيدرولوجية من اجل قياس تصريف الجريان السطحي في وادي جند بغية الوصول نتائج اكثـر دقة في حجم وعمق الجريان السطحي.
- العمل على انشاء سدود واطئة التكلفة في سبيل احياء أكبر عدد ممكـن من الأراضي ويـتطلب ذلك دعماً وتشجيعاً لعرض الاستفادة منها في مختلف الاستعمالات ومنها ( الزراعية ، السكنية ، الصناعية )
- الاعتماد على التقنيات الجغرافية الحديثة والمتمثلة بتقنية الاستشعار عن بعد ونظم المعلومات الجغرافية (GIS) في دراسة وتحليل هيدرولوجية الاحواض المائية الغير مرصودة وخصائصها الطبيعية والمورفومترية اذ يتم من خلال تلك التقنيات توفير الوقت والكلفة والجهد في الحصول على نتائج في غاية الدقة والسرعة .

المصادر :

١. الجبوري (٢٠١٦) ، دلي خلف حميد ، التحليل المكاني لنقدير حجم الجريان السطحي لحوض وادي الفضا في شمال شرق العراق باستخدام نظم المعلومات الجغرافية GIS ، مجلة اداب الفراهيدى ، العدد (٢٥) .
٢. الحشومي (٢٠١٧) ، خلون رحمن علوان ، تقدير حجم الجريان السطحي لحوض وادي دال كوز ، رسالة ماجستير ، كلية التربية للعلوم الإنسانية - جامعة ديالى .
٣. حسن (٢٠٠٥) ، صهيب خضرير ، بناء نموذج جغرافي في الجريان المائي السطحي في الجزء الشمالي منطقة الجزيرة / العراق ، اطروحة دكتوره (غير منشورة) ، كلية التربية ، جامعة الموصل .
٤. الساكنى (٢٠١٦) ، عبير يحيى ، تقانة حصاد المياه ودورها في تنمية الموارد المائية العربية ، مجلة المستنصرية للدراسات العربية والدولية ، العدد (٣٣) .
٥. العبيدي (٢٠١٥) ، عماد حسن ، جيومورفولوجية حوض وادي نفط - شرقي محافظة ديالى/العراق، اطروحة دكتوره (غير منشورة) ، كلية التربية ، جامعة ديالى .
٦. العكام (٢٠١٨) ، اسحق صالح ، خلون رحمن علوان ، استخدام نموذج SCS - CN في تقدير حجم مخاطر السيول في حوض وادي دال كوز ، مجلة ديالى للبحوث الإنسانية ، العدد (٧٦) .
٧. العمري (١٩٧٨) ، فاروق صنع الله، جيولوجيا شمال العراق، مؤسسة دار الكتب للطباعة والنشر 'الموصل' .
٨. الكرخي (٢٠١٧) ، علي حسن سلوم ، نيراس عباس ياس الجنابي ، استخدام تقنية نظم المعلومات الجغرافية والاستشعار عن بعد لتقدير حجم الجريان المائي السطحي لأحواض الجزء الشرقي من محافظة ديالى ، مجلة ديالى للعلوم الإنسانية ، العدد (٧٧) .
٩. المتيوتي (٢٠١٥) ، عيسى صالح عبد ، التحليل الجيوموري للخصائص المورفومترية في منطقة بعشيقه ، رسالة ماجستير (غير منشورة) ، كلية التربية ، جامعة الموصل .
10. C. Lalitha Muthu ، M. Helen Santhi (2015) ، Estimation of Surface Runoff potential using SCS – CN Method Integrated With GIS ، Indian Journal of Science and Technology ، Vol. (8) ، Issus (28) .
11. Ashish Bansode ، K. A. patil (2014) ، Estimation of Runoff by using SCS Curve Number Method and Arc GIS ، International Journal of Scientific & Engineering Reseaech ، Volume (5) ، Issue (7) .
12. Saad Z. Jassim and Jeremy C (2006) . Geology of Iraq . published by dolin prague and Moravian museum. Bron .
13. Sameer Shadeed ، Mohammad Almasri (2010) ، Application of GIS-based SCS-CN method in West Bank catchments Palestine ، Water Science and Engineering ، Vol (13) .
14. Soil Conservation Service (1986) . Urban Hydrology for Small Watershed . Technical releases55، 2nd ، U.S.Dept of Agriculture، Washington D.C.